





Pismo di Assetto del Territorio

LR11/2004

STUDIO DI COMPATIBILITA' SISMICA Relazione tecnica

data

26 Ottobre 2011

Comm.

MORI1006

Adozione

Approvazione

Progettisti

urbanista Raffaele Gerometta urbanista Daniele Rallo urbanista Valeria Polizzi urbanista Lisa De Gasper

Contributi specialistici

agronomo Gino Bolzonello forestale Mauro D'Ambroso ambientalista Mario Innocente geologo Eros Tomio geologo Jessica Rosso urbanista Fabio Roman

Contributi di valutazione

Ingegnere Elettra Lowenthal ingegnere Lino Pollastri ingegnere Chiara Luciani dott. sc. amb. Lucia Foltran

II Sindaco

Giuseppe Tonello

L'Assessore all'Urbanistica

Mirko Rizzetto

II Segretario

Massimo Cargnin

Il Responsabile Ufficio Urbanistica

Loris Dalto



INDIÇE

1 - INQUADRAMENTO GENERALE	pag.	4
1.1 - Premessa		4
1.2 - I riferimenti normativi		4
1.3 - Aspetti metodologici principali		5
1.4 - Generalità sulla microzonazione sismica		6
2 - LA SISMICITA' DEL TERRITORIO DEL COMUNE		7
2.1 - Introduzione		7
2.2 - Inquadramento del territorio		8
2.2.1 - Inquadramento geografico		<u>8</u>
2.2.2 - Inquadramento topografico e morfologico		<u>8</u>
2.2.3 - Inquadramento geologico		9
2.2.4 - Inquadramento idrogeologico		<u>10</u>
2.3 - La situazione tettonica e strutturale		10
2.3.1 - Premessa		<u>10</u>
2.3.2 - Caratteri tettonici e strutturali generali		<u>11</u>
2.3.3 - Caratteri tettonici e strutturali particolari		<u>13</u>
<u> 2.3.4 - Faglie "capaci</u> "		<u>13</u>
2.4 - La classificazione sismica del Comune		14
2.5 - Approfondimenti sulla sismicità storica dell'area		14
2.5.1 - Il catalogo dei terremoti		<u>14</u>
2.5.2 - Il terremoto della "Carnia" del 1348		<u>15</u>
2.5.3 - Il "terremoto di Asolo" del 1695		<u>15</u>
2.5.4 - II "terremoto di Tramonti" del 1776		<u>16</u>
2.5.5 - Il "terremoto del Bellunese" del 1873		<u>16</u>
2.5.6 - Il "terremoto del Bosco del Cansiglio" del 1936		<u>17</u>
2.5.7 - II "terremoto del Friuli" del 1976		<u>17</u>
2.5.8 - Altri sismi importanti nell'area		17
2.6 - Approfondimenti sulla sismicità di base		18
2.7 - Caratterizzazione sismogenetica del territorio del P.A.T.I.		20
3 - CARTOGRAFIA		20
3.1 - Premessa		20
3.2 - Carta degli elementi geologici in prospettiva sismica		20
3.2.1 - Premessa		20
3.2.2 - Gli aspetti cartografati		<u>21</u>
3.3 - Carta delle zone omogenee in prospettiva sismica		22
3.3.1 - Premessa		<u>22</u>
3.3.2 - Gli aspetti cartografati		22



ALLEGATI

- Fig. 1 INQUADRAMENTO TERRITORIALE
- Fig. 2 INQUADRAMENTO TERRITORIALE (riduzione dalla cartografia I.G.M.)
- Fig. 3 CARTA NEOTETTONICA DELL'ITALIA NORD-ORIENTALE
- Fig. 4 SEZIONE GEOLOGICA E GEOFISICA DELLA ZONA IN ESAME
- Fig. 5 LOCALIZZAZIONE DELLA SEZIONE GEOLOGICA E GEOFISICA RIPORTATA IN FIG. 4
- Fig. 6 STRALCIO DALLA MAPPA DI PERICOLOSITÀ SISMICA
- Fig. 7 MAPPA DELLA SISMICITA' DAL 238 AL 1984
- Fig. 8 ESEMPIO DI ELABORAZIONE DATI SISMICI
- Tab. 1 ELENCO DEI TERREMOTI MAGGIORI VERIFICATISI IN UN'AREA CON 200 KM DI RAGGIO DAL COMUNE CON INTENSITA' UGUALE O SUPERIORE (I°) A 8° MCS
- Tab. 2 ELENCO DEI TERREMOTI MAGGIORI VERIFICATISI IN UN'AREA CON 100 KM DI RAGGIO DAL COMUNE CON INTENSITA' UGUALE O SUPERIORE (I°) A 6° MCS

TAVOLE

CARTA DEGLI ELEMENTI GEOLOGICI IN PROSPETTIVA SISMICA
CARTA DELLE ZONE OMOGENEE IN PROSPETTIVA SISMICA



1 - INQUADRAMENTO GENERALE

1.1 - Premessa

Nel 2010 mi è stato affidato l'incarico di realizzare l'indagine geologica del territorio del Comune di Moriago della Battaglia al fine di supportare la formulazione del nuovo P.A.T. (Piano di Assetto del Territorio).

Tale incarico, in applicazione della D.G.R.V. n. 3308 del 04.11.2008, "Applicazione delle nuove norme tecniche sulle costruzioni in zona sismica. Indicazioni per la redazione e verifica della pianificazione urbanistica (L.R. 11 del 23 aprile 2004 "Norme per il governo del territorio"), ha incluso anche la redazione dello "Studio di compatibilità sismica".

Nello specifico tale studio ha lo scopo di rendere compatibili le attività edificatorie e di utilizzo del territorio previste all'interno del P.A.T. (e poi del piano degli interventi) con le caratteristiche sismiche dei suoli, al fine di garantire una adeguata sicurezza degli insediamenti e delle infrastrutture.

1.2 - I riferimenti normativi

Il lavoro è stato svolto in accordo con la normativa vigente, in particolare:

- ⇒ L. 02.02.1974, n. 64, "Provvedimenti per le costruzioni con particolari prescrizioni per le zone sismiche";
- ⇒ D.M. 11.03.1988, "Norme tecniche riguardanti le indagini sui terreni e sulle rocce, la stabilità dei pendii naturali e delle scarpate, i criteri generali e le prescrizioni per la progettazione, l'esecuzione e il collaudo delle opere di sostegno delle terre e delle opere di fondazione";
- ⇒ Circ. LL. PP. 24.09.1988, n. 30483 "Norme tecniche per terreni e fondazioni -Istruzioni applicative";
- ⇒ Circ. Reg. 05.04.2000, n. 9, "Indirizzi in materia di prescrizioni tecniche da osservare per la realizzazione di opere pubbliche e private. Obblighi derivanti dalla L. 02.02.1974, n. 64 e dal D.M. 11.03.1988";
- ⇒ Ordinanza del Presidente del Consiglio dei Ministri n. 3274 del 20.03.2003, "Primi elementi in materia di criteri generali per la classificazione sismica del territorio nazionale e di normative tecniche per la costruzione in zona sismica";
- ⇒ Deliberazione n. 67 del 03.12.2003 del Consiglio Regionale del Veneto "Decreto legislativo n. 112/1998 articolo 94, Legge 2 febbraio 1974, n. 64 e Ordinanza del Presidente del Consiglio dei Ministri 20.03.2003, n. 3274 come modificata



dall'Ordinanza del Presidente del Consiglio dei Ministri 02.10.2003, n. 3316. Nuova classificazione sismica del territorio regionale: Direttive";

- ➡ Ordinanza del Presidente del Consiglio dei Ministri n. 3431 del 03.05.2005 "Ulteriori modifiche ed integrazioni all'ordinanza del Presidente del Consiglio dei Ministri n. 3274 del 20 marzo 2003, recante «Primi elementi in materia di criteri generali per la classificazione sismica del territorio nazionale e di normative tecniche per le costruzioni in zona sismica»";
- ⇔ Ordinanza del Presidente del Consiglio dei Ministri n. 3519 del 28.04.2006 "Criteri generali per l'individuazione delle zone sismiche e per la formazione e l'aggiornamento degli elenchi delle medesime zone";
- ⇒ Decreto del Ministero delle Infrastrutture e dei Trasporti del 14.01.2008, "Approvazione delle nuove norme tecniche per le costruzioni";
- D.G.R.V. n. 3308 del 04.11.2008, "Applicazione delle nuove norme tecniche sulle costruzioni in zona sismica. Indicazioni per la redazione e verifica della pianificazione urbanistica. (L.R. 11 del 23 aprile 2004 "Norme per il governo del territorio)";
- Decreto Direzione Geologia ed Attività Estrattive n. 69 del 27.05.2010, "Linee guida per la realizzazione dello Studio di Compatibilità Sismica per i Piani di Assetto del Territorio comunali ed intercomunali (PAT e PATI) D.G.R. n. 3008/2008 L.R. 11/2004".

1.3 - Aspetti metodologici principali

Il lavoro, svolto nel periodo maggio 2010÷aprile 2011, ha comportato le seguenti fasi principali:

- raccolta di dati bibliografici;
- esame della documentazione in materia elaborata negli ultimi anni a livello regionale ed interregionale;
- approfondimenti relativi alle problematiche sismiche, alla sismicità di base ed alla valutazione della amplificazione sismica locale;
- integrazione della raccolta dati già effettuata per la elaborazione dello Studio Geologico per il P.A.T., in particolare con la acquisizione di ulteriori stratigrafie e dati di prove penetrometriche e di altro tipo;
- esame delle foto aeree e sopralluoghi di controllo sul campo;



- incontri ed esame della documentazione esistente, presso i diversi enti preposti, in materia di problematiche sismiche;
- elaborazione dei dati raccolti e stesura della presente relazione.

Relativamente ai rapporti tra le due indagini, geologica e sismica, è opportuno considerare quanto segue:

- il presente <u>Studio di compatibilità sismica</u> poggia in buona misura sugli aspetti di analisi geomorfologica, geolitologica ed idrogeologica elaborati per la parallela documentazione geologica del P.A.T.I.;
- buona parte dei contenuti relativi alla amplificazione sismica locale sono strettamente collegati ad aspetti geomorfologici, geolitologici ed idrogeologici;
- l'analisi di base condotta per la stesura della documentazione geologica è stata, nella fase finale, ampliata, anche alla luce degli approfondimenti sismici che si andavano realizzando.

Pertanto, in sintesi, si consideri che i due studi sono paralleli ed interconnessi e che la parte di analisi territoriale è in buona misura comune; essendo riportata nella Relazione Geologica del P.A.T. si rimanderà di frequente ad essa, verrà indicata con la abbreviazione R.G.P.

1.4 - Generalità sulla microzonazione sismica

La microzonazione sismica, ovvero "la suddivisione dettagliata del territorio, in sottozone a diversa pericolosità sismica locale", tiene conto sia della sismicità di base (distanza dalle sorgenti sismogenetiche, energia, frequenza e tipo dei terremoti attesi), sia della amplificazione locale legata alle caratteristiche topografiche, geomorfologiche, geolitologiche ed idrogeologiche dell'area di studio.

Ha come finalità fondamentale quella di indirizzare la pianificazione urbanistica verso l'utilizzo edificatorio degli ambiti a minor rischio sismico.

Si articola in più livelli di approfondimento, sinteticamente così descrivibili:

- <u>primo livello</u>: è lo studio propedeutico ai livelli successivi. Viene realizzato in base alla D.G.R.V. 3308/2008 nell'ambito della formazione del P.A.T. (o del P.A.T.I.). Consiste nei seguenti passaggi:
 - raccolta dei dati esistenti e formulazione di una relazione che ricostruisce la sismicità storica dell'area, i danni che i terremoti avvenuti hanno arrecato al territorio, le possibili correlazioni con le principali strutture geologiche esistenti;
 - ⇒ elaborazione di una cartografia che, attraverso la rivisitazione dei contenuti geologici, geolitologici ed idrogeologici dello Studio Geologico per il P.A.T. (o



- del P.A.T.I.) individui gli elementi, in chiave sismologica, in grado di amplificare localmente la sismicità di base e/o di aumentare la pericolosità locale;
- ⇒ elaborazione della cartografia per la suddivisione del territorio in zone omogenee in prospettiva sismica;
- <u>secondo livello</u>: è lo studio di approfondimento locale, viene realizzato in base alla D.G.R.V. 3308/2008 nell'ambito della formazione del P.I. del territorio urbanizzato, urbanizzabile e degli ambiti riguardanti: i sistemi, le reti di comunicazione ed infrastrutturali e i corridoi per il trasporto energetico. Consiste nelle seguenti azioni:
 - ⇒ caratterizzazione locale del terreno con la misura delle Vs₃₀, per le aree "stabili";
 - ⇒ determinazione della profondità del bedrock in funzione della definizione del periodo proprio di vibrazione del sottosuolo, alla definizione di profili di V₈₃₀ e valutazione degli effetti morfologici, per le aree soggette ad amplificazione sismica;
 - ⇒ studio degli effetti di cui al punto precedente e degli ambiti di possibile instabilità;
- terzo livello: si applica in fase progettuale agli scenari suscettibili di instabilità,
 liquefazione, cedimenti. E' un approccio puntuale ai singoli fenomeni.

Si consideri infine che il presente *Studio di compatibilità sismica* fa riferimento al primo dei livelli di approfondimento sopra descritti.

2 - LA SISMICITA' DEL TERRITORIO DEL COMUNE

2.1 - Introduzione

E' da tener presente che il Comune di Moriago della Battaglia è stato classificato sismico in Zona 2 dalla Deliberazione n. 67 del 03.12.2003 del Consiglio Regionale del Veneto, in applicazione del disposto dell'Ordinanza del Presidente del Consiglio dei Ministri n. 3274 del 20.03.2003; precedentemente era già stato classificato di seconda categoria - con sismicità massima S = 9° M.C.S. - dal D.M. 14.05.1982, "Aggiornamento dell'elenco delle zone sismiche della Regione Veneto".

In ragione di ciò, come previsto dalla citata D.G.R.V. n. 3308 del 04.11.2008, è stato elaborato il presente "Studio di compatibilità sismica", avente come finalità la microzonazione sismica di primo livello del territorio in esame.

Questo studio può essere considerato complementare alla indagine geologica generale a fini urbanistici e volto a "migliorare la conoscenza delle componenti che



determinano la pericolosità sismica locale, nonché a fornire criteri di scelta finalizzati alla prevenzione dell'eventuale rischio" (cfr. la citata D.G.R.V., Allegato A).

2.2 - Inquadramento del territorio

2.2.1 - Inquadramento geografico

Il territorio del Comune di Moriago della Battaglia (v. Figg. 1 e 2 in Allegato e la Carta Geomorfologica) è collocato nella parte N della Provincia di Treviso e confina con i Comuni di Farra di Soligo a N; Sernaglia della Battaglia ad E; Crocetta del Montello e Volpago del Montello a S; infine Vidor ad W. Tutti sono compresi nella Provincia di Treviso.

La popolazione risiede prevalentemente nel capoluogo e nella vicina frazione di Mosnigo ad W.

La struttura antropica è riferita prevalentemente alle situazioni geomorfologica ed idraulica ed all'antico reticolato romano.

2.2.2 - Inquadramento topografico e morfologico

Come si può vedere dalla cartografia C.T.R., usata come base per le carte di analisi, e dalla Carta Geomorfologica, il territorio in esame è tutto pianeggiante e risulta compreso nella porzione centrale della limitata pianura alluvionale del Quartier del Piave. Più nel particolare può essere descritto suddividendolo in tre parti principali:

- a N una limitata porzione dei "Palù", antica area palustre, bonificata in epoca medievale. E' formata, in termini allargati, da una lunga successione di limitati dossi fluviali separati da depressioni argillose, più estese a S, che presentano evidenti segni della antica bonifica idraulica, ben delineata dal reticolato dei fossati di bonifica e dalla disposizione dei campi chiusi. La morfologia è subpianeggiante con ampie aree limitatamente depresse. Le quote estreme sono di 113÷138 m s.l.m. I corsi d'acqua hanno andamento meandriforme. I terreni presenti sono prevalentemente argilloso-limosi, con locali spalmature ghiaiose in corrispondenza agli antichi corsi fluviali;
- al centro parte della antica pianura alluvionale formata dalle correnti in uscita dalla fronte di Quero del ghiacciaio del Piave; è di natura prevalentemente ghiaioso-sabbiosa, localmente si rilevano limitate coperture legate al divagare dei torrenti minori provenienti dalla colline. La superficie evidenzia aree rilevate e depresse in relazione al divagare dei corsi dei torrenti minori sopra citati, che tendevano a mantenere stretti corridoi depressi quali varchi verso il collettore principale dell'area: il F. Piave. Questa porzione di pianura è limitata dalla elevata



scarpata erosiva creata dal Piave, che si attenua in corrispondenza ai corridoi sopra descritti;

• <u>infine a S l'ampia area golenale del fiume</u>, ha una larghezza, tra i due elevati terrazzi che la limitano a N ed a S (in Comune di Nervesa della Battaglia), dell'ordine di 1,8 km. Per buona parte è compresa entro i confini del Comune. Ha quote dell'ordine di 109÷121 m s.l.m. Comprende l'alveo attivo del fiume e porzioni marginali, verso N, in parte interessate dalle maggiori piene con periodicità centenaria. I terreni sono ovunque ghiaioso-sabbiosi di alluvione recente od attuale.

In termini più ampi il Comune costituisce la porzione centrale di un lungo terrazzo subpianeggiante, dolcemente degradante da N verso S, limitato a meridione da una elevata e molto inclinata scarpata che conduce ad una ampia depressione entro cui scorre il F. Piave. E' complessivamente denominato "Quartier del Piave".

2.2.3 - Inquadramento geologico

Per quanto attiene la formazione del territorio del Comune e la sua natura geolitologica è possibile distinguere tre ambiti principali:

- a N la porzione più settentrionale della pianura, formata da un rilevante spessore di alluvioni a varia granulometria, con importante presenza di termini fini. Sono di deposizione recente, prevalentemente postglaciale. Il substrato è in parte formato da alluvioni grossolane, plavensi, ed in parte da argille e marne terziarie;
- al centro la pianura, compresa nel Quartier del Piave, è stata creata nell'era Quaternaria dall'accumulo di alluvioni diverse, determinato dalle correnti fluvioglaciali e fluviali legate al F. Piave, al F. Soligo, al T. Raboso nonché a molti altri torrenti minori che qui confluivano.

In particolare interessarono il territorio del Comune, nel corso dell'ultima glaciazione (la Würmiana), grandi deflussi idrici che si dipartivano dalla fronte del ghiacciaio del Piave a Quero ed altri, minori, provenienti dalla fronte di Gai, del ramo lapisino dello stesso ghiacciaio. Il tutto è stato poi inciso e terrazzato e su di esso le ultime spalmature sono state distribuite dal divagare, durante le piene, dei vari torrenti minori, nel postglaciale.

Il sottosuolo è pertanto costituito da alternanze di ghiaie, da sciolte a variamente cementate, con livelli lentiformi di argille e limi, prevalentemente legati ad antichi processi di pedogenesi locale. Il substrato prequaternario è costituito da



- conglomerati e da rocce marnoso-argillose. Il passaggio non è facilmente distinguibile ed è da ritenersi profondo;
- a S infine l'ampia area golenale del F. Piave, è formata da alluvioni grossolane di deposizione recente, il substrato è dato da conglomerati terziari.

In termini allargati dal punto di vista tettonico il Quartier del Piave costituisce una debole sinclinale con andamento SW-NE, interrotta da faglie normali, prevalentemente trascorrenti. Le colline a N formano una serie di rilievi con andamento monoclinalico (hogback) separati da vallecole più o meno profondamente erose.

2.2.4 - Inquadramento idrogeologico

E' da ricordare che, dal punto di vista della costituzione litologica, ed in stretta relazione alla situazione idrografica ed idrogeologica, il territorio può essere considerato suddiviso nelle seguenti porzioni principali:

- <u>la porzione N</u>; comprende parte dei "Palù", ove i torrenti provenienti da monte scorrono in alvei conformati a dosso, in letti ghiaiosi e disperdenti lateralmente e non verso il basso, in profondità, in quanto il substrato presenta importanti intercalazioni argillose. Si rilevano locali falde superficiali;
- <u>la parte centrale del Comune</u>; ove il sottosuolo è ghiaioso-sabbioso, mediamente permeabile, l'idrografia superficiale è ridotta, la falda freatica potente ed estesa; la sua superficie si colloca a rilevante profondità dal p.c;
- <u>la parte meridionale del Comune</u>; in corrispondenza all'area golenale del F. Piave. Il sottosuolo è ghiaioso-sabbioso, quasi ovunque con permeabilità da media ad elevata, l'idrografia superficiale è importante, la falda freatica potente ed estesa; la sua superficie si colloca a limitata profondità dal p.c.

2.3 - La situazione tettonica e strutturale

2.3.1 - Premessa

Per descrivere la situazione tettonica del territorio del P.A.T. si è fatto riferimento:

- agli esiti dei rilievi di campagna nella formulazione della R.G.P.;
- alla documentazione cartografica a corredo della R.G.P. (si vedano in particolare le Carte Geomorfologica e Geolitologica);
- alle seguenti indagini locali precedenti, realizzate nell'area a fini urbanistici ed ambientali:
 - → Comune di Moriago della Battaglia, "P.R.G. Relazione geologica", dr. geol. G. Negri, 1985;



- → Comuni di Moriago della Battaglia, Sernaglia e Vidor, "Area di tutela paesaggistica Palu' del Quartier del Piave - Piano Ambientale - Indagine Geologica", dr. geol. E. Tomio, 1998;
- → Comuni di Farra di Soligo, Moriago della Battaglia, Pieve di Soligo, Refrontolo; Sernaglia e Vidor, "PATI 2010 Quartier del Piave Relazione Geologica", dr. geol. E. Tomio;
- → Comuni di Farra di Soligo, Moriago della Battaglia, Pieve di Soligo, Refrontolo; Sernaglia e Vidor, "PATI 2010 Quartier del Piave Studio di Compatibilità Sismica", dr. geol. E. Tomio;
- alla ulteriore e varia documentazione bibliografica acquisita, tra cui principalmente sono da citare i seguenti atti:
 - AA.VV. "Evoluzione neotettonica e schema strutturale dell'area compresa nei Fogli 38 - Conegliano, 37 - Bassano del Grappa (p.p.) e 39 - Pordenone (p.p.)", C.N.R., Prog. Fin. Geodinamica - Sottoprog. Neotettonica, U.O. 6.2.9, Napoli, 1980;
 - 2) AA. VV. "Evoluzione neotettonica dell'Italia Nord Orientale", Mem. Sc. Geol., Padova, 1982;
 - 3) AA. VV. "Modello sismotettonico dell'Italia Nord Orientale", C.N.R., Gruppo Nazionale per la Difesa dai Terremoti, Rendiconto N° 1, Trieste, 1987. Da questa sono state tratte le Figg. nn. 3, 4, 5 (v. in allegato);
 - 4) AA.VV. "Seismogenetic sources potentially responsible for earthquakes with M = 6 in the Southern Alps (Thiene Udine sector, NE Italy)", Geophysical Journal International, 2005.

2.3.2 - Caratteri tettonici e strutturali generali

Gli elementi strutturali e tettonici principali dell'area allargata, che interessano il substrato prequaternario, attivi in tempi geologicamente recenti (nel Neogene e nel Quaternario) sono i seguenti (v. anche Fig. 3 in allegato):

Nell'area allargata circostante il territorio del P.A.T.

- alcuni chilometri a N dell'area in esame si riscontra la grande flessura Bassano-Valdobbiadene-M. Cesen, elemento neotettonico principale di tutta l'area allargata;
- verso NE la faglia di Longhere o della Valcalda: si snoda al piede e parallelamente alla flessura Bassano-Valdobbiadene, sul fondo della Vallata; si tratta di un fascio di faglie inverse con direzione WSW-ENE, rigetti complessivi dell'ordine di 4 km e lunghezza di circa 25 km;



- a S l'anticlinale del Montello e la sua continuazione orientale nei colli di Susegana e Conegliano, con direzione assiale SW-NE;
- oltre il Montello poco a S nel sottosuolo dell'alta pianura le linee di Aviano e Sacile (faglie inverse ad alto angolo che procedono in direzione SW-NE), evidenziano un importante rigetto locale;
- ad W la faglia di Montebelluna, con direzione SE-NW. Faglia trascorrente sinistrorsa, con importante movimento verticale;
- presso la porzione E del Quartier del Piave le faglie di Nervesa e Pedeguarda. Faglie trascorrenti, sinistrorse, con andamento sub-parallelo e direzione SE-NW.

Nell'area ristretta del P.A.T.

- in corrispondenza alla porzione meridionale dell'area la faglia del Quartier del Piave; è costituita in realtà da uno stretto fascio di faglie dirette, attive, con direzione WSW-ENE collocate poco a N del Montello, obliterate dai sedimenti di copertura;
- in corrispondenza della parte settentrionale del Comune si riscontra la sinclinale di Soligo, con direzione assiale SW-NE;

Infine è da considerare che tutta la zona è in fase di sollevamento, con movimento differenziale, più accentuato a N.

Analogamente l'alta pianura a S del Montello è in fase di sollevamento dopo una di abbassamento.

Le strutture elencate sono state attive in tempi geologicamente recenti, molto probabilmente anche nell'intervallo che va dalla fase finale della glaciazione würmiana ad oggi (18.000 a. B.P.-Attuale), é ad esse che deve essere collegata la riconosciuta sismicità dell'area.

Per quanto attiene al motore cui far riferimento quale causa delle deformazioni elencate, è da collegarsi al "continuo movimento della zolla adriatica verso N nel Neogene e nel quaternario" che "ha determinato il sollevamento di settori del Sudalpino via via più esterni, con la formazione di pieghe e di accavallamenti vergenti verso la pianura"..."tale movimento continua a tutt'oggi, come denunciato dalla intensa attività sismica della fascia pedemontana" (cfr. il riferimento bibliografico 2 nel § 2.3.1).

In grande il movimento in atto è caratterizzato (v. anche la Fig. 4) dall'accavallamento del fronte sudalpino sull'avampaese padano-adriatico, in pratica da un forte movimento di compressione tra quanto a S dei primi rilievi e l'area che li comprende.



Conseguenze dei movimenti sopra descritti, in atto, è la sismicità del Veneto Orientale e dell'area in esame in particolare.

2.3.3 - Caratteri tettonici e strutturali particolari

Per quanto riguarda i caratteri tettonici particolari, abbastanza sicura può essere considerata la presenza, ad interessare il substrato prequaternario, di una limitata struttura sinclinalica con asse in direzione WSW-ENE, che inizia in corrispondenza dei Palù e che poi continua verso E.

Meno certa appare, anche se probabile, la presenza di una faglia o di un fascio di faglie presso il fianco meridionale della sinclinale, poco a N dell'elevata scarpata sul corso del F. Piave.

Per quanto riguarda i litotipi che costituiscono il nucleo della sinclinale in corrispondenza ai Palù, è possibile siano dati dalle argille del Pontico superiore (sino al Pliocene) che si riscontrano a E del T. Soligo. Secondo ricerche abbastanza recenti nella zona tra Moriago e Sernaglia (porzione a N) è presente un materasso argilloso di alcune centinaia di metri di potenza.

Purtroppo non vi sono elementi diretti (sondaggi) a conferma dell'ipotesi. Sicuramente comunque per alcune decine di metri il sottosuolo dell'area dei Palù è formato da una alternanza di ghiaie variamente sabbiose con argille ed altri termini intermedi. Tale materasso alluvionale si è accumulato nel corso del quaternario.

2.3.4 - Faglie "capaci"

Relativamente all'ambito particolare dell'area del P.A.T., sicura può essere considerata la presenza di una faglia "capace", è compresa tra quelle indicate nel § 2.2.

Si usa questo termine per descrivere le faglie sismiche con indizi di attività negli ultimi 40.000 anni, pertanto "capaci" di produrre deformazioni in superficie e passibili di riattivazione attuale.

E' stata rappresentata nella Carta delle Zone Omogenee in Prospettiva sismica ed è stata indicata con il tratteggio perchè sepolta sotto una spessa coltre di depositi quaternari che ne rende poco determinata la posizione.

La sua presenza è anche riportata nel catalogo delle faglie capaci elaborato nell'ambito del progetto ITHACA "ITaly HAzard from CApable faults" disponibile online all'indirizzo "http://www.apat.gov.it/site/it-IT/Progetti/ITHACA_-_Catalogo_delle_faglie_capaci" elaborato dal Servizio Geologico d'Italia - I.S.P.R.A. (Istituto Superiore per la Protezione e la Ricerca Ambientale).



2.4 - La classificazione sismica del Comune

E' da tener presente che il Comune di Moriago della Battaglia è stato classificato sismico in Zona 2 dalla Deliberazione n. 67 del 03.12.2003 del Consiglio Regionale del Veneto, in applicazione del disposto dell'Ordinanza del Presidente del Consiglio dei Ministri n. 3274 del 20.03.2003; precedentemente era già stato classificato di seconda categoria - con sismicità massima S = 9° M.C.S. - dal D.M. 14.05.1982, "Aggiornamento dell'elenco delle zone sismiche della Regione Veneto".

A ragione della classificazione si pone la sismicità storica dell'area allargata. Si ricordino infatti i seguenti principali terremoti che hanno interessato la zona:

anno	data	ora	località epicentrale	intensità epicentrale
	gg.mm	ora.min		MCS x 10
778			Treviso	85
1348	25.01	_	Carnia	95
1695	25.02	05.30	Asolo	90
1776	10.07	20.40	Tramonti	85
1873	29.06	03.55	Bellunese	95
1936	18.10	03.10	Bosco Cansiglio	90
1976	06.05	21.06	Friuli (Gemona-Osoppo)	95

La classificazione sismica del Comune è fondata su una previsione di accelerazione (max.) (di picco orizzontale del suolo (a_g) di categoria A) di riferimento, in base alle specifiche norme, di 0,25 g.

In Fig. 6 è riportato uno stralcio della "Mappa di pericolosità sismica del territorio nazionale" redatta dall'Istituto Nazionale di Geofisica e Vulcanologia nel 2004 e recepita dalla Ordinanza del Presidente del Consiglio dei Ministri n. 3519 del 28.04.2006 "Criteri generali per l'individuazione delle zone sismiche e per la formazione e l'aggiornamento degli elenchi delle medesime zone".

Come si può osservare in essa, il Comune di Moriago della Battaglia è compreso nella classe con incremento 0,225÷0,250 g [la pericolosità sismica è espressa in termini di accelerazione massima del suolo con probabilità di eccedenza del 10% in 50 anni, è riferita a suoli di categoria A (Vs30>800 m/s)].

2.5 - Approfondimenti sulla sismicità storica dell'area

2.5.1 - Il catalogo dei terremoti

Nelle Tabb. nn. 1 e 2 in allegato sono riportati i cataloghi dei terremoti dal 217 a. C. al 2002 riferiti alle seguenti griglie di ricerca:



- Tab. 1, area circolare con raggio di 200 Km, con intensità epicentrale l₀ uguale o superiore a 8° M.C.S.;
- Tab. 2, area circolare con raggio di 100 Km, con intensità epicentrale l₀ uguale o superiore a 6° M.C.S.

In Fig. 7 sono rappresentati gli epicentri dei terremoti verificatisi nell'area regionale dal 238 al 1984 (tratti da AA. VV. "Modello sismotettonico dell'Italia Nord Orientale", C.N.R., Gruppo Nazionale per la Difesa dai Terremoti, Rendiconto N° 1, Trieste, 1987).

Come si può osservare dalla documentazione elencata i principali terremoti verificatisi in prossimità dell'area del P.A.T. sono effettivamente quelli riportati nel § 2.4, verranno approfonditi nei prossimi §§, procedendo da quello della "Carnia", poiché di quello di Treviso non si sono reperite informazioni significative.

2.5.2 - II "terremoto della Carnia" del 1348

Il terremoto del 25 gennaio 1348 fu avvertito in una vastissima area che abbraccia il Friuli, l'Austria e la Baviera. L'area di massimo risentimento è stata localizzata fra la Carinzia meridionale e il Friuli e comprende i centri fortificati posti sui rilievi a margine delle valli della Drava e del Gail in Carinzia, i castelli friulani prospicienti il Tagliamento e numerose città friulane come Udine, Cividale, Gorizia, Aquileia e Trieste.

L'epicentro è stato localizzato in Carnia e l'intensità massima è stata valutata superiore a 9° M.C.S.

In Carinzia nella regione di Villach provocò più di mille morti. In Carnia si ebbero più di 1.500 morti a causa del sisma e altri successivamente a causa delle deviazioni fluviali indotte.

2.5.3 - II "terremoto di Asolo" del 1695

Gli avvenimenti legati a quell'evento possono essere così descritti:

- ⇒ verso le 19 del 24.02.1695 si verificò una prima scossa di limitata intensità;
- ⇒ altre due abbastanza forti si ebbero verso le 22 e le 23;
- ⇒ all'alba (ore 5.30) del 25.02.1695 (S. Costanza) si ebbe la scossa distruttiva, valutata nella zona epicentrale in 9,5° M.C.S.

I danni furono molto ingenti, da AA.VV., "La Valcavasia - Ricerca Storico Ambientale", Comunità Montana del Grappa, 1983, si sono ricavate le seguenti informazioni:

• i morti furono circa 69 (?), relativamente pochi, in ragione delle scosse preliminari che ebbero l'effetto di far uscire gli abitanti dalle case;



- in termini geografici le massime distruzioni si ebbero lungo l'allineamento Castelcies-Costalunga-Castelcucco (Valcavasia centrale);
- le strutture interessate sono probabilmente la dorsale Castelcies-Col Dell'Asse-Col Muson, comprese le faglie e le strutture plicative;
- è da osservare che la zona maggiormente danneggiata ha grossomodo andamento WSW-ENE, in pratica conforme a quello delle principali strutture attive elencate nel § 2.3.2;
- non risultano valutazioni attendibili della profondità dell'ipocentro, può comunque essere stimata, come da ricerche acquisite, di alcuni chilometri.

2.5.4 - II "terremoto di Tramonti" del 1776

Gli avvenimenti legati a quell'evento possono essere così descritti:

- ⇒ verso le 20.40 del 10.07.1776 si verificarono due forti scosse separate da breve intervallo temporale;
- ⇒ l'intensità epicentrale l₀ è valutabile in circa 8,5° M.C.S.;
- ⇒ seguirono poi altre scosse minori per vari giorni;
- ⇒ le località principalmente interessate furono Tramonti, Andreis e Barcis.

I danni furono ingenti, a Tramonti vi furono vari morti e venne distrutta più della metà delle costruzioni esistenti.

2.5.5 - II "terremoto del Bellunese" del 1873

Gli avvenimenti legati a quell'evento possono essere così descritti:

- ⇒ il terremoto si verificò il 19.06.1873, alle ore 4.55. L'intensità epicentrale è stata valutata in 9,5° M.C.S., la magnitudo è stata stimata in 6,3 (M_L magnitudo della scala Richter);
- ⇒ l'epicentro venne calcolato nel bacino dell'Alpago, il sisma però venne avvertito in tutto il Veneto;
- ⇒ le zone maggiormente colpite furono l'Alpago (basso Bellunese), la Val Lapisina e la fascia collinare e pedemontana che procede da Vittorio Veneto a Montereale;
- ⇒ le vittime furono trenta nell'Alpago e complessivamente una quarantina in provincia di Belluno; 36 a S. Pietro di Feletto a causa del crollo del tetto di una chiesa, 16 nell'allineamento Rugolo-Cappella-Sarmede;
- ⇒ ingenti furono i danni sia nell'Alpago, che nel Vittoriese e nella fascia ai piedi del Cansiglio posta a SW dell'altopiano (pertanto anche nel territorio comunale di Cordignano).



2.5.6 - II "terremoto del Bosco del Cansiglio" del 1936

Gli avvenimenti legati a quell'evento possono essere così descritti:

- ⇒ il terremoto si verificò il 18.10.1936 alle ore 4.10. L'intensità epicentrale è stata valutata in 9° M.C.S., la magnitudo è stata stimata in 5,8 (Ms magnitudo dell'onda di superficie);
- ⇒ l'epicentro venne calcolato in corrispondenza all'Altopiano del Cansiglio, il sisma però venne avvertito in tutto il Veneto;
- ⇒ l'ipocentro è stato individuato a circa 17 Km dalla superficie;
- ⇒ le zone maggiormente colpite furono i borghi al piede del Cansiglio da Ceneda (Vittorio Veneto) a Stevenà;
- ⇒ non vennero registrate vittime;
- ⇒ ingenti furono i danni nella fascia ai piedi del Cansiglio.

2.5.7 - Il "terremoto del Friuli" del 1976

Gli avvenimenti legati a quell'evento possono essere così descritti:

- ⇒ il terremoto si verificò il 06.05.1976 alle ore 21.06. L'intensità epicentrale è stata valutata in 10° M.C.S., la magnitudo è stata stimata in 6,4 (M_L magnitudo della scala Richter);
- □ l'epicentro venne calcolato in corrispondenza al Monte San Simeone, a N di Udine, tra i Comuni di Trasaghis e Bordano, in prossimità delle località di Osoppo e Gemona del Friuli. Il sisma però venne avvertito in tutto il Nord Italia ed in Slovenia;
- ⇒ le zone maggiormente colpite furono i borghi a NE di Udine ed alcuni Comuni nell'alta valle dell'Isonzo in Slovenia;
- ⇒ vennero registrati 989 morti e oltre 45.000 senza tetto;
- ⇒ si verificarono due nuove scosse in data 11.09.1976 alle 18.31 e 18.40, la prima delle quali con intensità di 5,8° della scala Richter;
- ⇒ in data 15 settembre 1976 tra le ore 5.00 circa e le 11.30 si verificarono ulteriori scosse di oltre 10 gradi della scala Mercalli;
- ⇒ i Comuni di Trasaghis, Bordano, Osoppo, Gemona del Friuli, Buja e Venzone furono completamente rasi al suolo.

2.5.8 - Altri sismi importanti nell'area

Estrapolando dal "Catalogo Parametrico dei Terremoti Italiani" e considerando i sismi con valore di I₀ (intensità epicentrale) superiore a 5° (scala M.C.S.) avvenuti nell'area



dall'anno 217 a.C., i più vicini come epicentro all'area del P.A.T., in un raggio di circa 30 Km, sono risultati i seguenti:

anno	data	ora	località epicentrale	intensità epicentrale
	gg.mm	ora.min		MCS x 10
778	04.11		Treviso	85
1268	28.01		Trevigiano	75
1695	13.04	05.30	Asolano	95
1756	04.08		Treviso	65
1789	12.06		Tramonti	55
1836	10.03	02.30	Bassano	75
1857	20.01	03.00	Pieve di Soligo	55
1859	20.09	07.55	Collalto	65
1860	19.05	15.38	Valdobbiadene	70
1861	11.06	19.45	Castelfranco	65
1883	29.10	02.40	Vittorio Veneto	60
1885	14.04	22.06	Col Visentin	60
1887	28.11	01.11	Asolo	70
1894	10.06		Fonzaso	65
1895	11.06	01.47	Valdobbiadene	65
1897	04.03	11.40	Montebelluna	60
1900	12.07	16.55	Valdobbiadene	60
1919	08.11	12.06	Asolo	55
1922	04.07	10.28	Feltre	60
1940	24.07	19.15	Fonzaso	60
1943	24.07	01.44	Valdobbiadene	65
1943	15.11	08.30	Fonzaso	60

In termini geografici si può osservare come l'area del P.A.T. sia inserita in una zona ad elevata sismicità, ben rappresentata in Fig. 6.

Si consideri infine (cfr. tabella sopra riportata) che il Quartier del Piave è stato interessato da due sismi significativi verso la metà del 1800 (nel 1857 con epicentro a Pieve di Soligo e nel 1859 con epicentro a Collalto).

2.6 - Approfondimenti sulla sismicità di base

Come contenuto nell'Allegato A alle Norme Tecniche per le Costruzioni titolato Pericolosità Sismica (cfr. Decreto del Ministero delle Infrastrutture e dei Trasporti del 14.01.2008, "Approvazione delle nuove norme tecniche per le costruzioni"):

✓ "Le Norme Tecniche per le Costruzioni (N.T.C.) adottano un approccio
prestazionale alla progettazione delle strutture nuove e alla verifica di quelle
esistenti. Nei riguardi dell'azione sismica l'obiettivo è il controllo del livello di
danneggiamento della costruzione a fronte dei terremoti che possono verificarsi
nel sito di costruzione. L'azione sismica sulle costruzioni è valutata a partire da



- una "sismica di base" in condizioni ideali di sito di riferimento rigido con superficie topografica orizzontale (di categoria A nelle N.T.C.)".
- ✓ "Le valutazioni della "sismica di base" debbono derivare da studi condotti a livello
 nazionale, su dati aggiornati, con procedure trasparenti e metodologie validate. I
 dati utilizzati per le valutazioni devono essere resi pubblici, in modo che sia
 possibile la riproduzione dell'intero processo".
- ✓ "La "Pericolosità sismica di base" nel seguito chiamata semplicemente pericolosità sismica, costituisce l'elemento di conoscenza primario per la determinazione delle azioni sismiche; le sue attuali fonti di riferimento sono indicate nel seguito del presente paragrafo".
- ✓ "La pericolosità sismica in un generico sito deve essere descritta in modo da renderla compatibile con le N.T.C. e da dotarla di un sufficiente livello di dettaglio, sia in termini geografici che in termini temporali; tali condizioni possono ritenersi soddisfatte se i risultati dello studio di pericolosità sono forniti:
 - in termini di valori di accelerazione orizzontale massima a_g e dei parametri che permettono di definire gli spettri di risposta ai sensi delle N.T.C., nelle condizioni di sito di riferimento rigido orizzontale sopra definite;
 - in corrispondenza dei punti di un reticolo (reticolo di riferimento) i cui nodi sono sufficientemente vicini fra loro (non distano più di 10 km);
 - per diverse probabilità di superamento in 50 anni e/o diversi periodi di ritorno
 T_R ricadenti in un intervallo di riferimento compreso almeno tra 30 e 2475 anni, estremi inclusi".
- ✓ "L'azione sismica così individuata viene successivamente variata, nei modi chiaramente precisati dalle N.T.C., per tener conto delle modifiche prodotte dalle condizioni locali stratigrafiche del sottosuolo effettivamente presente nel sito di costruzione e dalla morfologia della superficie. Tali modifiche caratterizzano la risposta sismica locale".

Al fine di acquisire i dati corretti della sismicità di base, in termini sito specifici e riferiti alla localizzazione di progetto, è possibile con le coordinate dello stesso accedere al sito http://esse1.mi.ingv.it/. Da questo possono essere tratti: le forme spettrali ed i vari altri parametri necessari ai calcoli successivi.

L'azione sismica così individuata viene successivamente variata, nei modi chiaramente precisati dalle N.T.C., per tener conto delle modifiche prodotte dalle condizioni locali stratigrafiche del sottosuolo effettivamente presente nel sito di costruzione e dalla morfologia della superficie. Tali modifiche caratterizzano la risposta sismica locale.



Alcune immagini e tabelle calcolate per la zona centrale del Comune, a titolo esemplificativo, sono riportate in Fig. 8 in allegato.

2.7 - Caratterizzazione sismogenetica del territorio del P.A.T.I.

Per quanto attiene al calcolo della pericolosità sismica, con riferimento al D.M. 14.01.2008, N.T.C. 2008, Allegato B, i nodi di riferimento del reticolo, con ricerca riferita al baricentro del P.A.T. (ed analogamente al Comune) sono i seguenti: 10747, 10748, 10969, 10970.

Le coordinate geografiche WGS84 GD del baricentro (stimato) del P.A.T. sono circa: long. E 12,093884° e lat. N 45,860788° (ED50 long. E 12,094883° e lat. N 45,861686).

La zona sismogenetica di riferimento (zonazione ZS9) è la n. 905. La magnitudo di riferimento (proposta da "Istituto Nazionale di Geofisica e Vulcanologia, Redazione della Mappa di Pericolosità Sismica, Rapporto Conclusivo - bozza - luglio 2004") Mw è 6,6.

3 - CARTOGRAFIA

3.1 - Premessa

Nei prossimi §§ si illustreranno gli elaborati cartografici allegati alla presente relazione.

Questi sono costituiti dalle seguenti cartografie:

- <u>Carta degli elementi geologici in prospettiva sismica</u>; in questo elaborato cartografico si sono riportate, a seguito di una rivisitazione mirata dei contenuti topografici, geomorfologici, geolitologici ed idrogeologici delle analisi per la formulazione della Relazione Geologica per il P.A.T., in chiave sismologica gli elementi territoriali in grado di produrre amplificazioni sismiche locali e/o situazioni di instabilità:
- <u>Carta delle zone omogenee in prospettiva sismica</u>; in questo elaborato si è realizzata una mappatura del territorio del P.A.T. suddividendolo in funzione dei possibili effetti locali di amplificazione e/o di instabilità in prospettiva sismica.

E' da considerare che la suddivisione in zone omogenee in prospettiva sismica è stata anche riportata nella Carta delle Fragilità del P.A.T. ed ha influenzato la suddivisione del territorio dal punto di vista della compatibilita' geologica ai fini urbanistici.

3.2 - Carta degli elementi geologici in prospettiva sismica

3.2.1 - Premessa

Si sono riportate, a seguito di una rivisitazione mirata dei contenuti topografici, geomorfologici, geolitologici ed idrogeologici delle analisi per la formulazione della



Relazione Geologica per il P.A.T., in chiave sismologica, gli elementi territoriali in grado di produrre amplificazioni sismiche locali e/o situazioni di instabilità.

E' chiaro che, per ciascuno degli aspetti cartografati, in ambito di P.I. (Piano degli Interventi), o di progetto dei singoli interventi, dovranno essere condotti gli opportuni approfondimenti al fine di quantificare esattamente l'amplificazione locale. Nel prosieguo si porranno solo alcuni riferimenti tecnici ed operativi, comunque non esaustivi; per gli approfondimenti tecnici e metodologici di definizione della amplificazione sismica si rimanda alla varia manualistica tecnica specifica.

3.2.2 - Gli aspetti cartografati

In questo elaborato cartografico si sono riportati in chiave sismologica gli elementi territoriali in grado di produrre amplificazioni sismiche locali e/o situazioni di instabilità.

AMPLIFICAZIONE STRATIGRAFICA

Suoli di tipo diverso dal Tipo A (Rocce soggette ad amplificazione litologico -stratigrafica)

Per i terreni sotto indicati è da prevedersi la puntuale definizione della tipologia di suolo secondo le categorie fissate dalle NTC del D. M. 14.01.2008:

- → SA1 ghiaie e sabbie normalmente consolidate e non cementate;
- → SA2 materiali alluvionali granulari fini e coesivi-compressibili o granulari, ma con possibili locali livelli compressibili;
- → SA3 materiali di riporto.

Altri elementi

→ Area con profondità di falda < 15 m dal piano campagna.

La soggiacenza della falda viene indicata in carta allo scopo di facilitare il riconoscimento delle aree potenzialmente esposte a fenomeni di liquefazione.

Morfologie generanti amplificazione topografica

Forme fluviali, fluvioglaciali e di versante dovute al dilavamento

Si sono riportate le strutture che possono indurre amplificazione topografica. L'area di influenza e l'entità dovranno essere calcolate caso per caso, i parametri fondamentali sono costituiti dalle dimensioni geometriche e dalla inclinazione delle vari parti:

→ Orlo di scarpata di erosione fluviale o di terrazzo (con altezza delle scarpate superiore a 10 m).



3.3 - Carta delle zone omogenee in prospettiva sismica

3.3.1 - Premessa

L'elaborato cartografico suddivide potenzialmente il territorio in due tipi di zone omogenee in prospettiva sismica:

- aree "suscettibili di amplificazioni sismiche", nelle quali sono attese amplificazioni
 del moto sismico, come effetto dell'assetto topografico, litostratigrafico e
 geomorfologico locale (non sono esclusi, in particolare nella porzione più
 settentrionale, anche locali possibili fenomeni di instabilità riconducibili a limitato
 rischio di liquefazione);
- aree "suscettibili di instabilità", nelle quali gli effetti sismici attesi e predominanti sono riconducibili a deformazioni del territorio (non sono necessariamente esclusi per queste zone anche fenomeni di amplificazione del moto). Le principali cause di instabilità sono: instabilità di versante, liquefazioni, faglie attive, cedimenti differenziali.

3.3.2 - Gli aspetti cartografati

Per realizzare la carta si è proceduto all'esame del territorio del P.A.T. con le seguenti modalità:

- si è evidenziata in carta la possibile perimetrazione delle aree interessate da amplificazione e/o da instabilità;
- per fattori di carattere puntuale o lineare che determinano amplificazione si sono individuate delle ampiezze (buffers) in relazione alle loro caratteristiche, definite in prima approssimazione.

Così operando è risultato che nel territorio non vi sono aree definibili "stabili".

Si sono perimetrate e individuate sul territorio le seguenti classi:

Zone omogenee in prospettiva sismica

- → Aree stabili suscettibili di amplificazione sismica;
- → Aree suscettibili di instabilità;

Aree instabili per azione sismica

- → Per instabilità di versante;
- → Per cedimento e/o liquefazione.

La liquefazione è un fenomeno di temporanea perdita di resistenza al taglio che può interessare terreni sabbioso-limosi, sciolti o poco addensati, saturi d'acqua. Si verifica quando lo scuotimento sismico induce un incremento di pressione interstiziale tale da



produrre un momentaneo azzeramento della resistenza di taglio. Il fenomeno, per verificarsi, richiede comunque la contemporaneità di vari fattori, legati all'azione sismica ed alle condizioni locali del terreno.

→ Rotture in superficie per riattivazione di faglia capace (traccia non determinabile in superficie).

Si usa questo termine per descrivere le faglie sismiche con indizi di attività negli ultimi 40.000 anni, pertanto "capaci" di produrre deformazioni in superficie e passibili di riattivazione attuale (si vedano per un maggiore dettaglio nella descrizione i §§ 2.3.2 e 2.3.4).

Relativamente agli effetti dell'inserimento nelle categorie sopra elencate, si rimanda al contenuto del § 1.4 e si ricorda, per le due tipologie di aree, quanto segue:

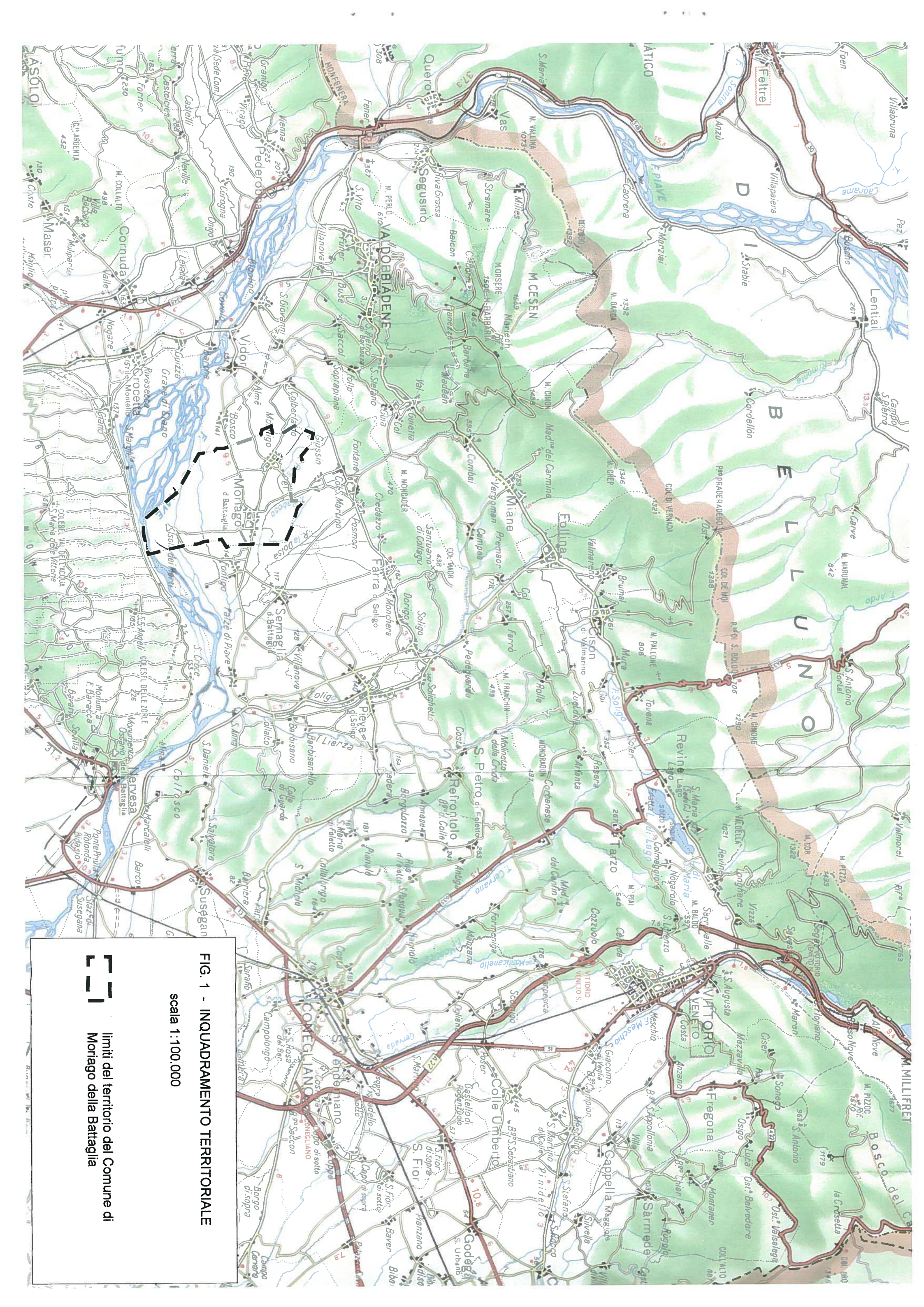
- area stabile suscettibile di amplificazione sismica; l'utilizzo urbanistico e/o
 edificatorio o per realizzare sistemi, reti di comunicazione ed infrastrutturali e
 corridoi per il trasporto energetico dovrà essere preceduto da una accurata
 definizione della amplificazione sismica locale ed una valutazione degli eventuali
 rischi di liquefazione (ove presenti);
- <u>aree "suscettibili di instabilità"</u>; l'utilizzo urbanistico e/o edificatorio o per realizzare sistemi, reti di comunicazione ed infrastrutturali e corridoi per il trasporto energetico; sono da valutarsi accuratamente. Potranno essere consentiti, ove classificate idonee a condizione nella carta delle Fragilità, per particolari esigenze nell'ambito del P.I. dopo aver approfondito le problematiche di instabilità e, ove confermate, aver prevista la realizzazione dei necessari correttivi.

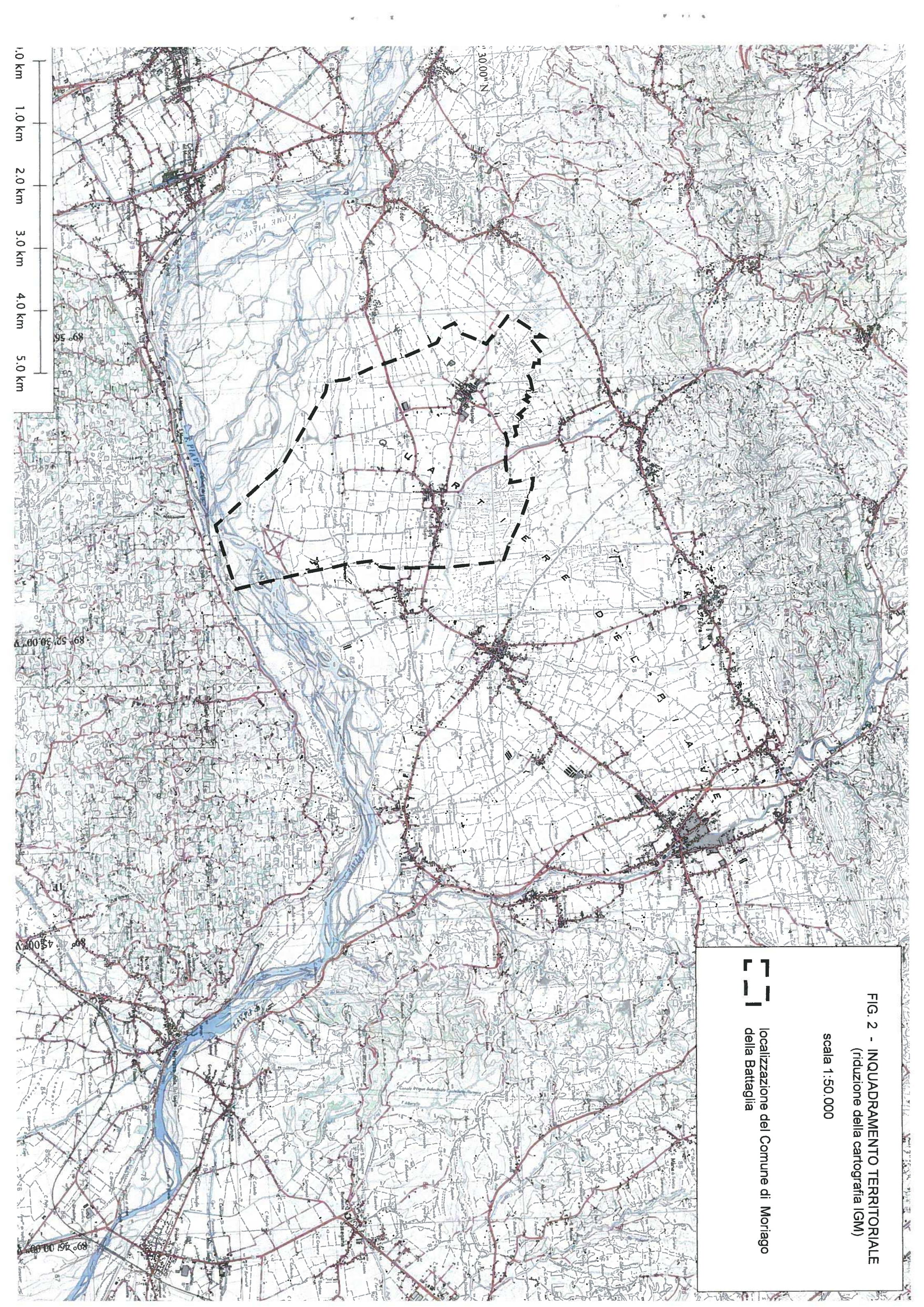
dr. geol. Eros Tomio

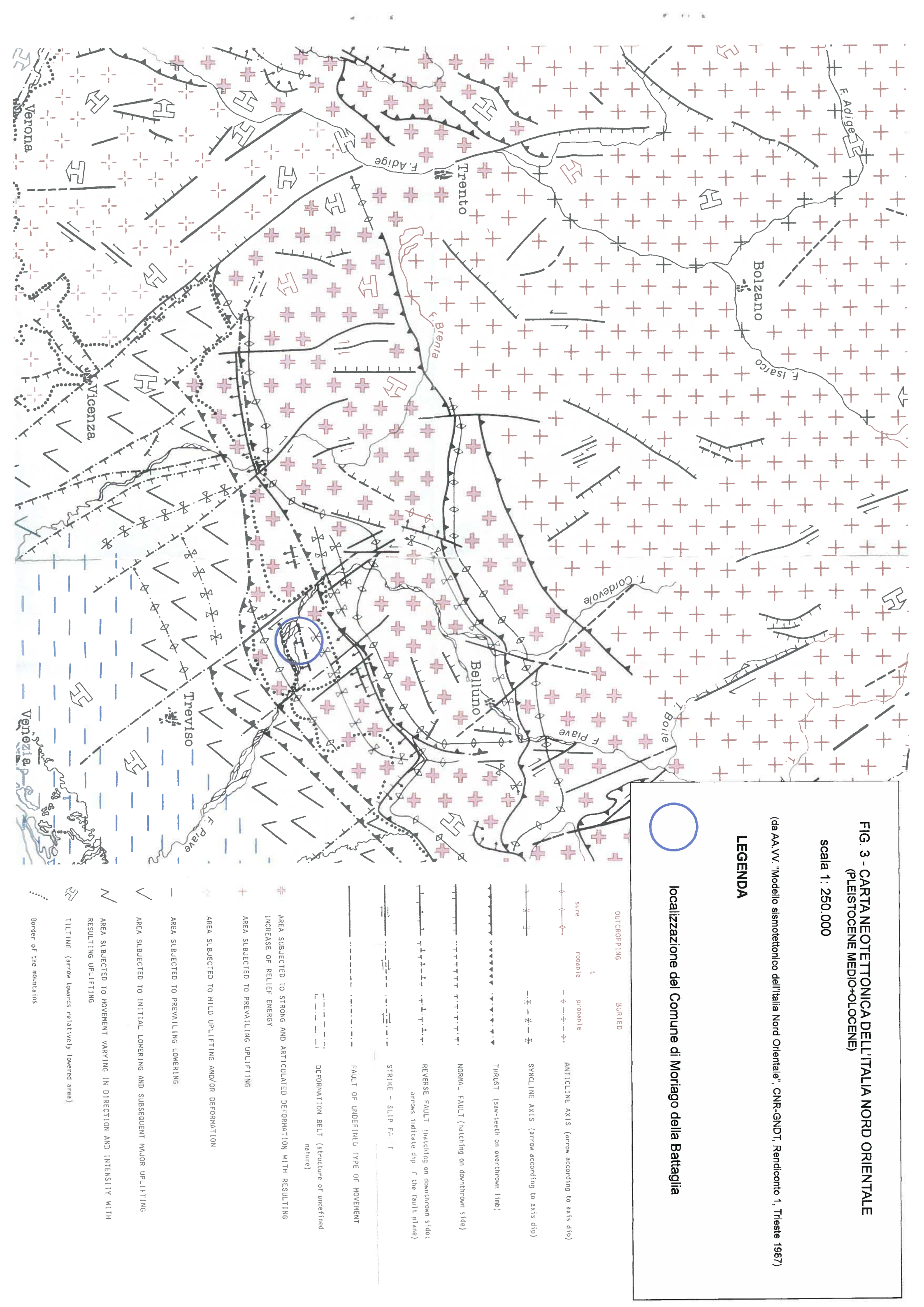
Ordine Regionale dei Geologi n. 119



ALLEGATI







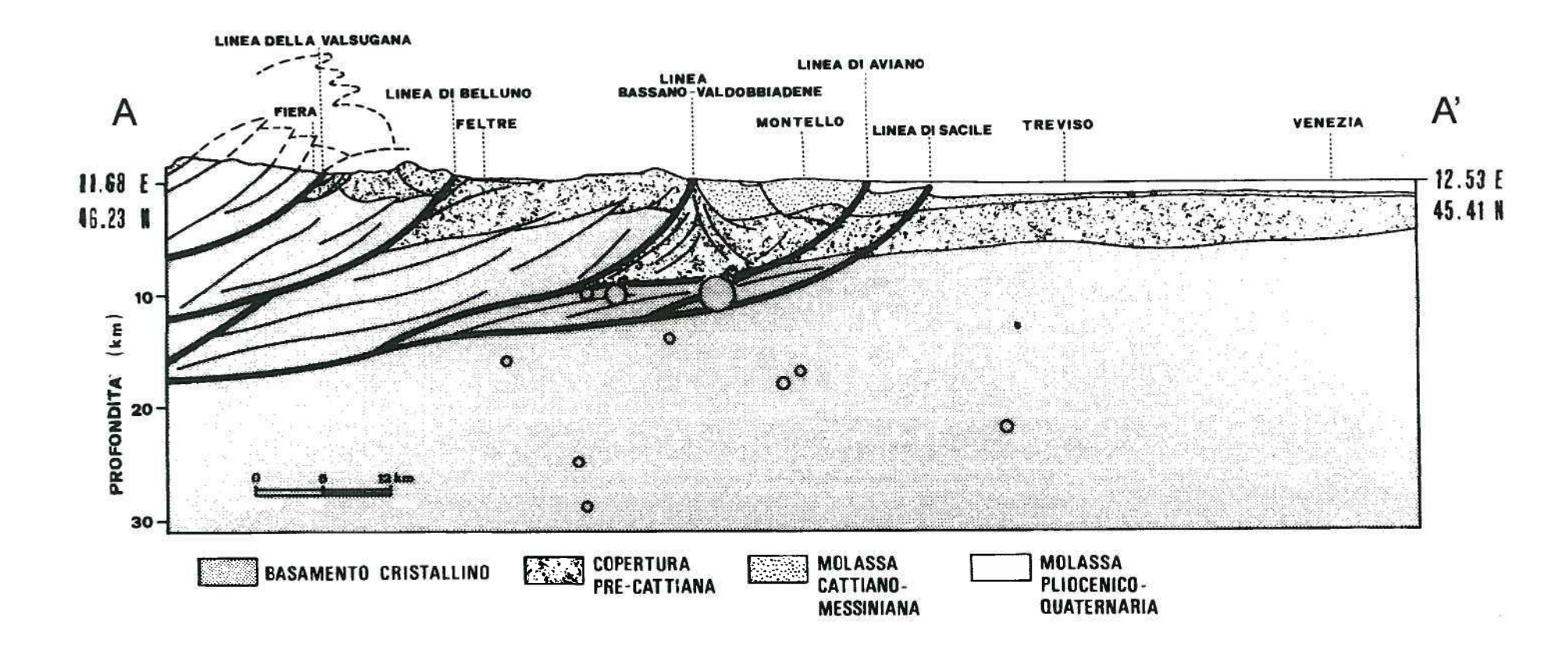


FIG. 4 - SEZIONE GEOLOGICA E GEOFISICA DELLA ZONA IN ESAME (la traccia è riportata in FIG. 5 - Gli ipocentri segnati sono relativi ai terremoti avvenuti nel periodo 1966÷1984)

(da AA.VV. "Modello sismotettonico dell'Italia Nord Orientale", CNR-GNDT, Rendiconto 1, Trieste 1987)

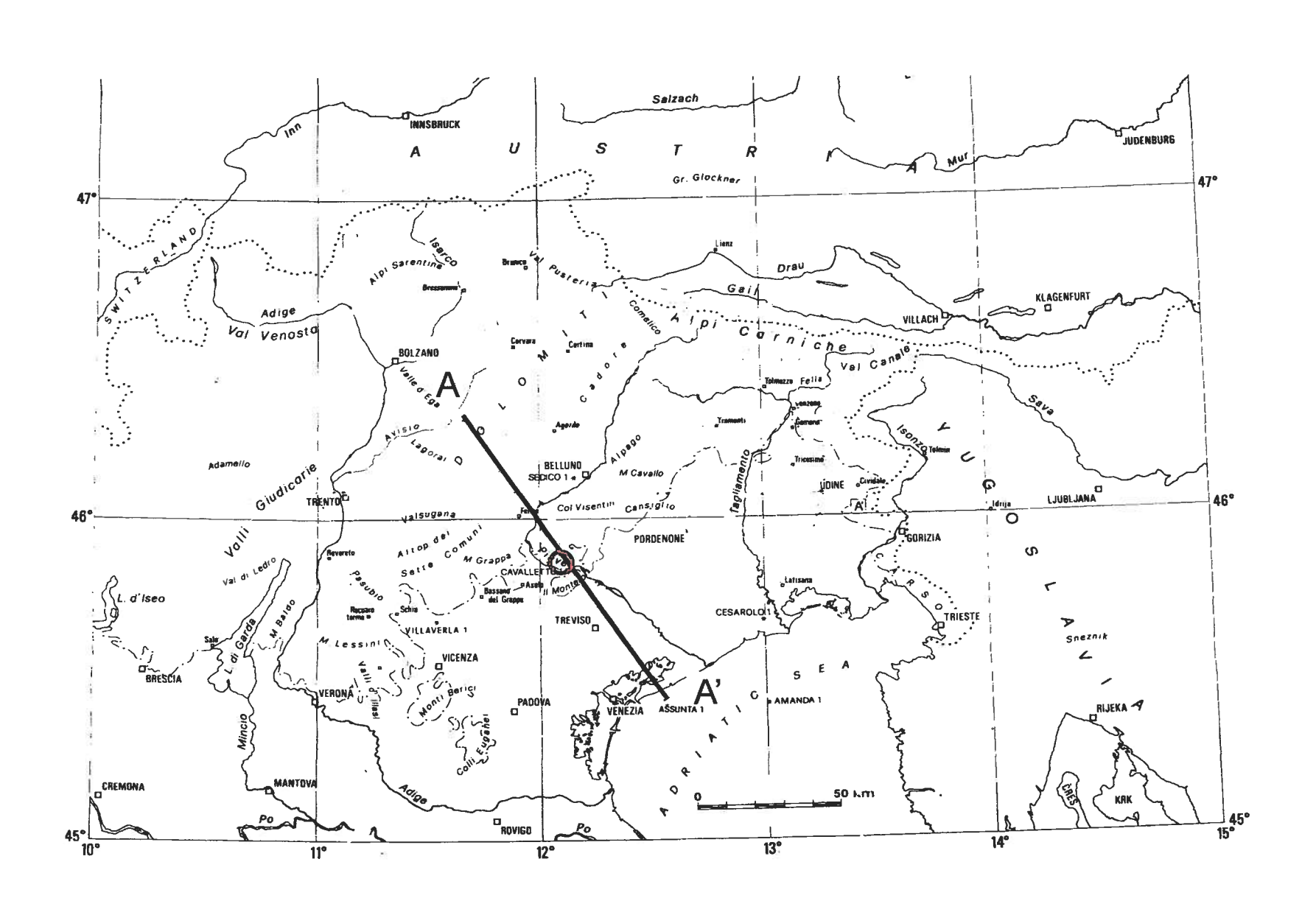


FIG. 5 - LOCALIZZAZIONE DELLA SEZIONE GEOLOGICA E GEOFISI-CA RIPORTATA IN FIG. 4 (v. in neretto la traccia della sezione denominata **A-A'**)

(da AA.VV. "Modello sismotettonico dell'Italia Nord Orientale", CNR-GNDT, Rendiconto 1, Trieste 1987)

localizzazione del Comune di Moriago della Battaglia

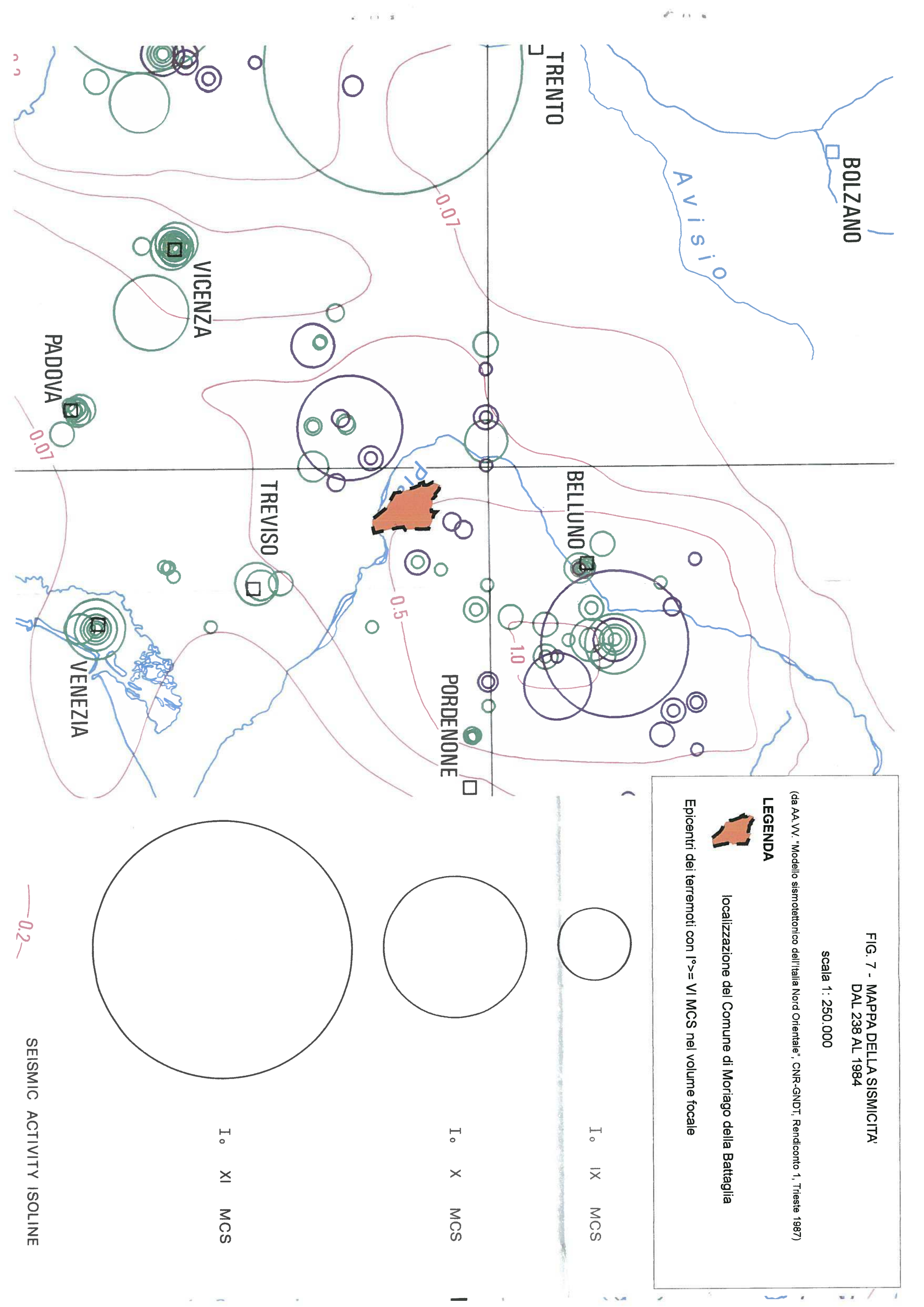
Comune di Moriago della Battaglia Elaborazione: aprile 2004 Regione Veneto 0.250 - 0.275 0.275 - 0.300 0.150 - 0.175 0.175 - 0.200 0.200 - 0.225 0.225 - 0.250 0.050 - 0.075 0.075 - 0.100 0.100 - 0.125 0.125 - 0.150 < 0.025 g 0.025 - 0.050

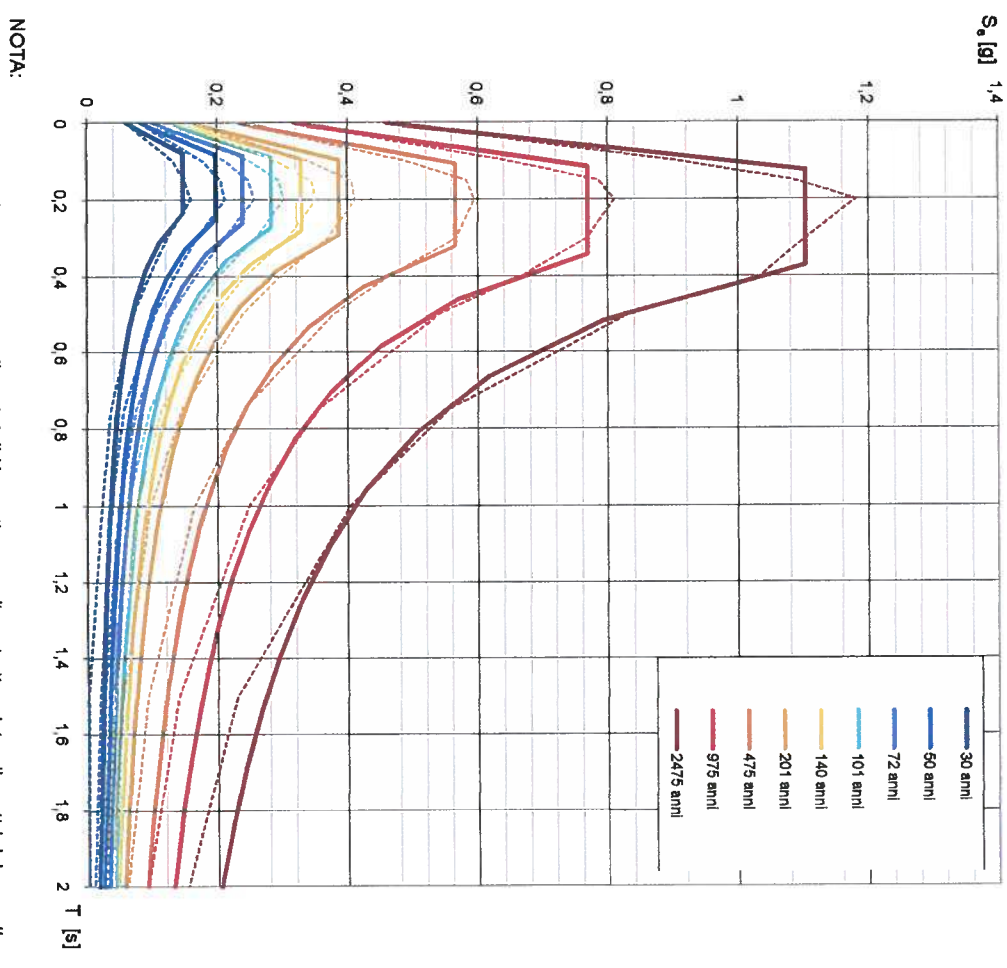
e : 1 %

FIG. 6 - STRALCIO DALLA MAPPA DI PERICOLOSITA' SISMICA

scala 1: 250.000

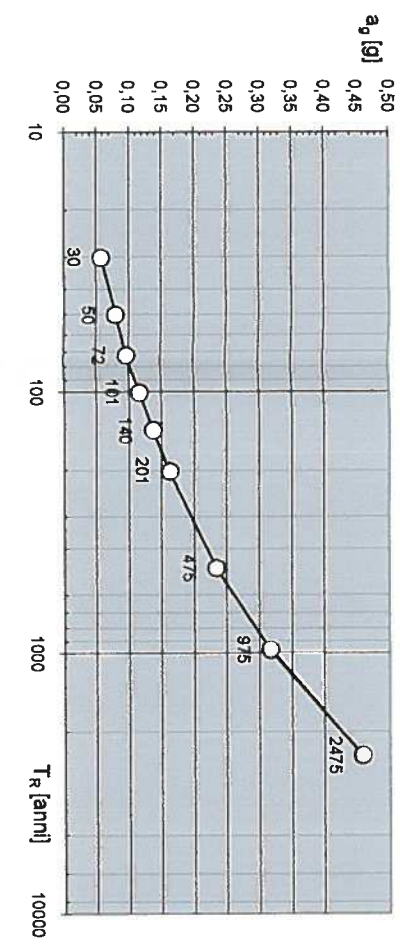
(tratta da "Istituto Nazionale di Geofisica e Vulcanologia - Mappa di pericolosità sismica del territorio nazionale", 2004)

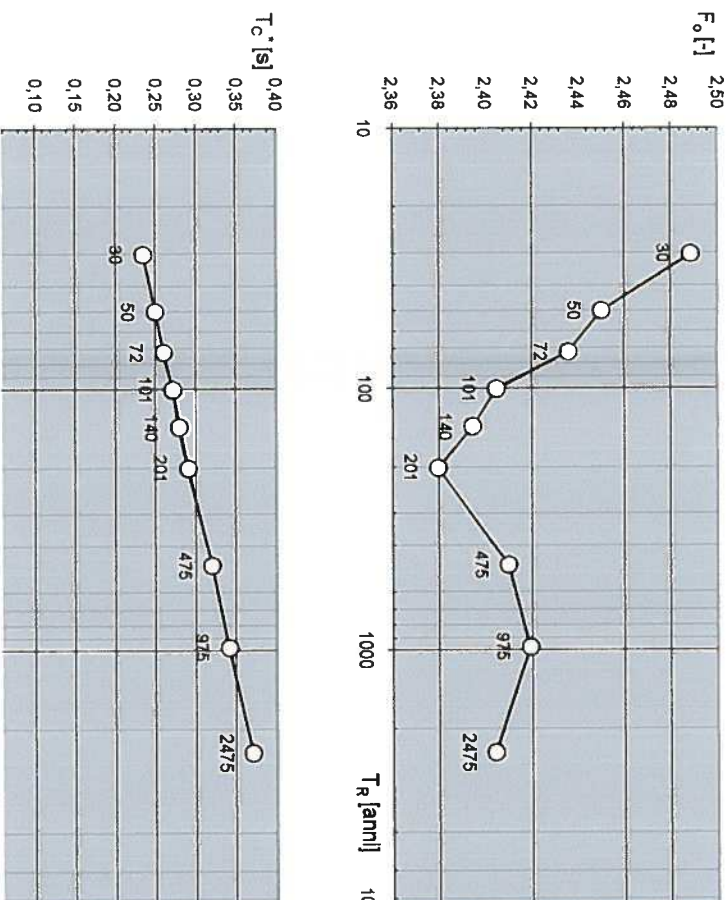




NOTA: Con linea continua si rappresentano gli spettri di Normativa, con linea tratteggiata gli spettri del progetto S1-INGV da cui sono derivati.

La verifica dell'idoneità del programma, l'utilizzo dei risultati da esso ottenuti sono onere e responsabilità esclusiva dell'utente. Il Consiglio Superiore dei Lavori Pubblici non potrà essere ritenuto responsabile dei danni risultanti dall'utilizzo dello stesso.





,35	,36 10	00 05 11 15 22 25 30 35 40 45 50
0 0 72 101 140 201	50 77 77 0 145 0 1	30 50 72 161 140 201
475	475 975	475
2475	2475 T _R [anni] 10000	7 _R [anni] 10000

Fig. 8 - ESEMPIO DI ELABORAZIONE DATI SISMICI

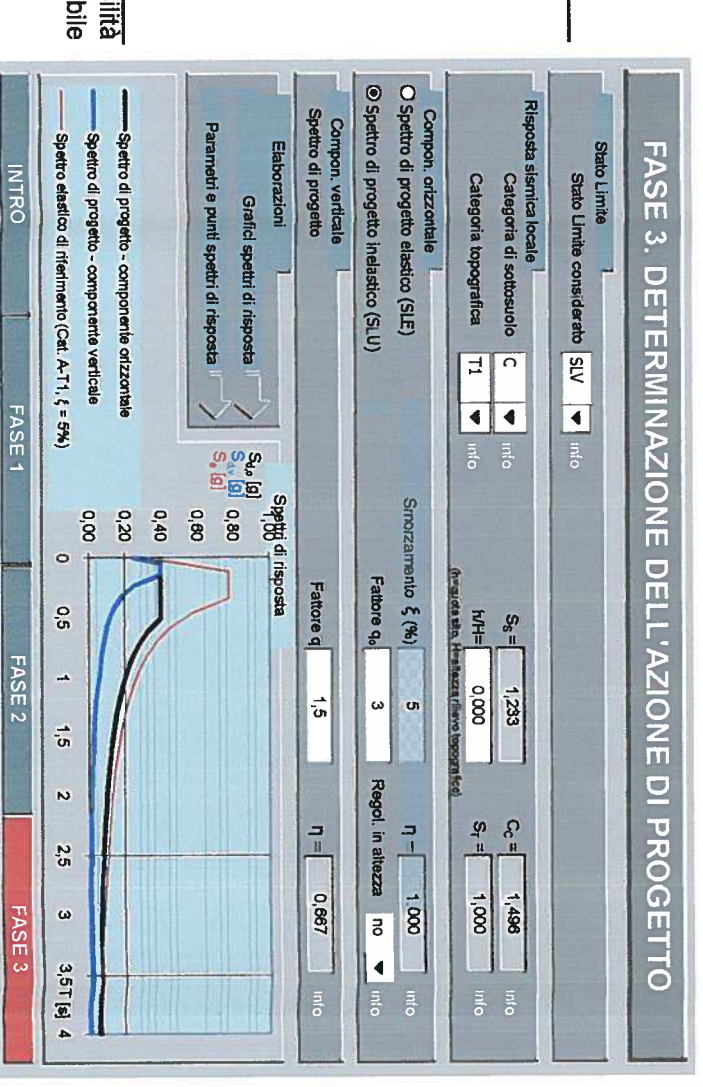
Comune di Moriago della Battaglia coordinate centrali lat. N 45,860788 e long. E 12,093884° (WSGS84 GD)

(tratto da D.M 14.01.2008, "Approvazione delle nuove norme tecniche per le costruzioni" - Spettri di Risposta Ver. 1.3)

Valori dei parametri ag, Fo, T_C per i periodi di ritorno T_R di riferimento

T _R	ag	,TI	T _C .
[anni]	[9]	E	[s]
30	0,059	2,489	0,235
50	0,080	2,450	0,250
72	0,098	2,436	0,261
101	0,117	2,405	0,272
140	0,137	2,395	0,280
201	0,163	2,380	0,291
475	0,235	2,410	0,321
975	0,318	2,419	0,342
2475	0,459	2,404	0,371

La verifica dell'idoneità del programma, l'utilizzo dei risultati da esso ottenuti sono onere e responsabilità esclusiva dell'utente. Il Consiglio Superiore dei Lavori Pubblici non potrà essere ritenuto responsabile dei danni risultanti dall'utilizzo dello stesso.



TAB. 1 - ELENCO DEI TERREMOTI MAGGIORI VERIFICATISI IN UN'AREA CON 200 KM DI RAGGIO DAL BARICENTRO DEL COMUNE CON INTENSITA' UGUALE O SUPERIORE (I°) A 8° MCS

(estratto da: Catalogo parametrico dei terremoti italiani - Istituto Nazionale di Geofisica e Vulcanologia)

Interrogazione effettuata sui seguenti parametri:

Area circolare con centro C (45.860, 12.093) e raggio 200 km con valore Io tra 8 e 11

1269 CP 1897 1 14 25 17 11 1269 CP 1897 1 14 25 17 11 1353 DI 1901 10 30 14 49 58 51 1805 DI 1928 3 27 8 32 1921 DI 1936 10 18 3 10 1921 DI 1976 5 6 20 1921 18 1976 9 15 9 21 18 1923 CP 1976 9 15 9 21 18 1925 CP 18 1925	DI 1870 10 30 DI 1873 6 29 3 58 DI 1891 6 7 1 6 14	661 DI 1788 10 20 T 693 CP 1802 1 3 6 30 F 694 DI 1802 5 12 9 30 V 968 CP 1870 3 1 19 57 G	476 CP 1721 1 12 596 DI 1776 7 10 616 DI 1781 4 4 619 DI 1781 7 17 9 40	DI 1688 4 11 11 30 CP 1689 12 22 DI 1690 12 4 15 45 DI 1695 2 25 5 30 DI 1700 7 28	144 DI 1438 6 11 20 F 179 DI 1438 8 11 19 40 P 195 DI 1501 6 5 10 P 210 DI 1511 3 26 14 40 S 263 CP 1572 1 4 19 45 I 268 CP 1574 8 14 C 373 CP 1670 7 17 2	N Tr Anno Me Gi Or Mi Se . 5 DI -91 8 DI 725 9 DI 778 9 DI 1117 1 3 13 7 DI 1222 12 25 11 4 DI 1348 1 25
LJUBLJANA Salo' CARNIA BOSCO CANSIGLIO FRIULI Friuli	MELDOLA Bellunese Valle d'Illasi	TOLMEZZO RIJEKA Valle dell'Oglio GORSKI KOTAR	RIJEKA TRAMONTI FAENTINO Romagna	ROMAGNA TIROL KAERNTEN ASOlano RAVEO	Parmense Romagna meridionale Roppennino modenese Slovenia TIROL CICARIJA	Modena-Reggio Emilia Classe-Ravenna Treviso Veronese Basso bresciano CARNIA
CVI186 CVI186 DOM DOM DOM CFTI	CFTI	DOM CVI86 CFTI CVI86	CVI86 DOM DOM CFTI	DOM VGL91 DOM CFTI	CETI CETI CETI CETI CETI CETI CETI COMBO VGL91 VGL91	Rt CFTI CFTI CFTI CFTI CFTI CFTI
191 359 267 772	27 200 403	66	19 78 33	36 17 82 28	12 14 19 66	3 2 2 4 4 6 6
	90 95 80	& & U U	85 90	90 85 100 90	100 85 80 80	H 000 000 000 000 000 000 000 000 000 0
899888	85 85 85	80 8 8 5	90 90 80	8 9 8 8 9 6	88898888	80 85 85 85 85
444 4004 4000	4.	4 6	46	M 46	ጀ 1 1 1 1 1 1 1 1 1 1 1 1 1 1 1 1 1 1 1	H M M M M M M M M M M M M M M M M M M M
45.58 6.372 6.088 6.241 46.25	14.139 46.15 45.57	45.42 45.42	45.3 16.233 14.235 44.28	44.39 47.3 16.633 16.433	44.85 44.85 44.52 46.2 47.3	Lat 44.65 44.4 45.67 45.33 45.33
14. 10. 12.97 12.3 13.11 13.11	12.	H 10 H 4	14. 12.70 11.79 11.9	11.94 11. 13.87 11.9 12.86		Lon 10.78 12.22 12.25 11.2 10.68 12.883
	2 7 8 Z 2 A A A		5 7 6 A A A A	852A AAA		50 A A A A A A A A A A A A A A A A A A A
5.57 5.67 5.90 5.92	5.59 6.33 5.71	5.71 5.57 5.67 5.57	5.82 5.84 5.53	5.88 5.57 5.97 5.97	5.62 5.62 5.85 5.51 5.57 5.57	Maw 5.66 5.57 5.84 6.49 6.05
0.00000	0000	0.10	0.1	00000	0000000	Da 0.1 0.1 0.1 0.1 0.1 0.1 0.1 0.1 0.1 0.1
ω σ. ω σ.	в CI I V	6 6 6 W	1916	21262	0 0 0 6 1 3 7 6	Y Y Y Y Y Y Y Y Y Y
					5.47 5.547 5.82 5.40 5.40	Mas 5.53 5.40 5.80 6.49 6.05 6.05
0000000	0000	0.2	0.11	0.1	0.0000000000000000000000000000000000000	0.2 0.2 0.2 0.1
4 6 6 7 1 8 6	2714	w w w w	7 60 7 69		w w w or or o or r	សេខេធកស្ល់ប ដូ
10.00000000	o n ω in			7000000	5.55.55.55.55.55.55.55.55.55.55.55.55.5	X Y Y Y Y Y Y Y Y Y Y
000012		.21	. 1 1 2		22244224	Dsp 0.25 0.28 0.28 0.21 0.15 0.15 0.13
7 905 5 905 4 905	1 914 1 905 1 906	90	7 905 8 914 6 914	912 3 1 905 8 905	5 913 5 912 6 905 8 904	91 91 90 90 90
ଦେବଦଦ	ଦଦଦ		ଦ ଦ ଦ	ഒര ഒ	⊅ ଜଜଜଜ	
100044	416 419 442	4 0	324	266 269 276 284	181 197 204 212	Ncft 24 77 78 96 109 150
70 270 147 192 177 178	847 184 242	116 6 289 8	107 840 841	309 309 204 100	306 308 308 308	Nnt 231 249 86
1269 1353 1805 1921 2363 2366	v ⊢ 10 10	661 693 694 968	476 596 616 619	393 399 401 415	144 179 195 210 263 268	Ncpt 5 18 19 30 47

Numero di record estratti: 37



TAB. 2 - ELENCO DEI TERREMOTI MAGGIORI VERIFICATISI IN UN'AREA CON 100 KM DI RAGGIO DAL COMUNE CON INTENSITA' UGUALE O SUPERIORE (I°) A 6° MCS

(estratto da: Catalogo parametrico dei terremoti italiani - Istituto Nazionale di Geofisica e Vulcanologia)

Interrogazione effettuata sui seguenti parametri:

Area circolare con centro C (45.860, 12.093) e raggio 100 km con valore Io tra 6 e 11 $\,$

No. Imax Image Imax Image Imax Image Imax Imax	2363 DT 1976 5 6 60 FRICH	CP 1968 6 22 12 21 37 POSINA	DI 1960 1 6 15 18 CARNIA	DI 1959 4 26 14 45 CARNIA	CP 1956 5 10 12 30 OVARO	CP 1955 7 23 3 54 32 MANIAGO	CP 1954 10 11 16 45 25 GEMONA	CP 1954 4 25 22 17 19 FORNI DI SOTTO	CP 1948 10 12 11 51 35 TRASAGHIS	CP 1943 11 15 8 30	DI 1943 7 24 1 44 VALDOBBIADENE	CP 1943 6 12 4 21 16 TOLMEZZO	DT 1942 6 20 14 42 ARCO	CP 1940 1 3 19 15 FONZASO	CP 1938 7 14 19 57 48 TOLMEZZO	CP 1937 2 18 5 30 BELLUNO	CP 1937 1 5 20 58 15 ARTA	DI 1936 10 18 3 10	DI 1934 6 8 3 16 CLAUT	DT 1934 5 4 13 56 CARNIA	DT 1931 12 25 11 41 TARCENTO	DT 1930 5 14 1 AURONZO	TOLMEZZO	CD 1028 11 16 3 17 15 TOTMEZZO	DT 1928 3 27 8 32 CARNIA	CP 1926 9 28 21 30 52 ARTA	DI 1924 12 12 3 29 CARNIA		DI 1348 1 25 CARNIA	65 DI 1284 1 17 15 30 Venezia CFTI		1 3 13 Veronese	N Tr Anno Me Gi Or Mi Se AE Rt 19 NT 778 Freviso CFTI	
Time To TI Lat Lon TI Kaw Daw Was Day Cast Maje Day Cast Maje Maje Day Cast Maje	CFTI 5	7			G	5	5	G	Ġ	Ġ		5		5	ហ	G.	ហ	26	2	œ	4		ST I						4			00	.24	
To TI Lat Lon TI May Day TW Mas Day TS Msp Day Z89 TZ Neft Nnt 45.67 12.25 A 5.84 0.15 6.49 0.15 6.49 0.15 6.49 0.15 9.6 6.49 0.15 9.6 9.6 31 1.7 1.2.88 A 5.18 0.25 4.5.41 2.883 A 5.18 0.25 4.5.41 2.883 A 5.18 0.25 4.5.41 2.883 A 5.58 0.25 4.5.41 0.37 5.00 0.34 5.00 0.34 5.00 0.34 5.00 0.34 5.00 0.34 5.00 0.34 6.66 0.19 90.5 6 117 197 197 4.5.41 0.38 4.5.37 12.98 A 5.53 0.05 5.33 0.07 5.48 0.06 90.5 G 144 4.5.31 1.30 4.76 0.07 4.20 0.11 4.43 0.10 90.5 G 149 149 4.5.35 1.30 4.76 0.07 4.56 0.11 4.77 0.16 90.5 G 149 4.5.35 1.30 4.72 0.11 4.13 0.11 4.37 0.16 90.5 G 150 88 46.35 13.03 4.72 0.11 4.73 0.11 4.77 0.10 90.5 G 150 88 46.259 13.104 A 5.36 0.66 5.09 0.09 5.26 0.08 90.5 G 151 191	54 8												2 60									5 60						0		3 70			1 Fina 1 85	i
TI Lat Lon TI May Day TW Mas Das TS MSP Dsp ZS9 TZ Ncft Nat Nat Nat Nat Nat Nat Nat Nat Nat Na	718				60	60	60	60	60	60				60	60	60	60						60									95		I
Ton TI May Day TW Mas Day TS Msp Dsp ZS9 TZ Ncft Ntt 12.25 A 5.84 0.14 5.80 0.21 5.80 0.21 5.80 0.21 78 12.28 A 5.18 0.25 4.81 0.37 5.00 0.34 90.5 6 117 197 12.28 A 5.18 0.25 4.81 0.37 5.00 0.34 90.5 6 117 197 12.28 A 5.18 0.25 4.81 0.37 5.00 0.34 90.5 6 125 2001 12.281 A 5.53 0.05 5.33 0.07 5.48 0.06 90.5 6 145 12.291 A 5.53 0.05 5.33 0.07 5.48 0.06 90.5 6 492 147 13.05 4.76 0.07 4.65 0.11 4.37 0.16 90.5 G 150 886 12.37 3.03 4.77 0.11 4.13 0.17 4.37 0.16 90.5 G 150 12.347 A 5.36 0.06 5.09 0.09 5.26 0.08 90.5 G 151 13.104 A 5.36 0.06 5.09 0.09 5.26 0.08 90.5 G 12.337 A 5.07 0.07 4.66 0.11 4.77 0.10 0.15 12.38 A 5.90 0.03 5.88 0.05 5.88 0.05 90.5 G 12.5 12.53 A 5.07 0.07 4.66 0.11 4.86 0.10 90.5 G 12.5 12.53 A 5.07 0.07 4.66 0.11 4.86 0.10 90.5 G 12.5 12.53 A 5.07 0.07 4.66 0.11 4.86 0.10 90.5 G 12.5 12.2967 4.83 0.26 4.30 0.39 4.53 0.36 90.5 G 12.5 12.2967 4.83 0.26 4.30 0.39 4.53 0.36 90.5 G 12.5 12.882 A 5.18 0.09 4.82 0.13 5.01 0.12 90.6 A 22.8 12.883 A 5.90 0.33 4.83 0.35 4.83 0.26 4.30 0.39 4.53 0.36 90.5 G 12.5 12.884 A 5.18 0.09 4.82 0.13 5.01 0.12 90.6 A 22.8 12.883 A 5.90 0.33 4.83 0.35 90.5 G 12.5								_	_	_	4		4	4	4	4		4	4	4	4	4			4		4.	£	4			3	H]
Ton TI May Day TW Mas Day TS Msp Dsp ZS9 TZ Ncft Ntt 12.25 A 5.84 0.14 5.80 0.21 5.80 0.21 5.80 0.21 78 12.28 A 5.18 0.25 4.81 0.37 5.00 0.34 90.5 6 117 197 12.28 A 5.18 0.25 4.81 0.37 5.00 0.34 90.5 6 117 197 12.28 A 5.18 0.25 4.81 0.37 5.00 0.34 90.5 6 125 2001 12.281 A 5.53 0.05 5.33 0.07 5.48 0.06 90.5 6 145 12.291 A 5.53 0.05 5.33 0.07 5.48 0.06 90.5 6 492 147 13.05 4.76 0.07 4.65 0.11 4.37 0.16 90.5 G 150 886 12.37 3.03 4.77 0.11 4.13 0.17 4.37 0.16 90.5 G 150 12.347 A 5.36 0.06 5.09 0.09 5.26 0.08 90.5 G 151 13.104 A 5.36 0.06 5.09 0.09 5.26 0.08 90.5 G 12.337 A 5.07 0.07 4.66 0.11 4.77 0.10 0.15 12.38 A 5.90 0.03 5.88 0.05 5.88 0.05 90.5 G 12.5 12.53 A 5.07 0.07 4.66 0.11 4.86 0.10 90.5 G 12.5 12.53 A 5.07 0.07 4.66 0.11 4.86 0.10 90.5 G 12.5 12.53 A 5.07 0.07 4.66 0.11 4.86 0.10 90.5 G 12.5 12.2967 4.83 0.26 4.30 0.39 4.53 0.36 90.5 G 12.5 12.2967 4.83 0.26 4.30 0.39 4.53 0.36 90.5 G 12.5 12.882 A 5.18 0.09 4.82 0.13 5.01 0.12 90.6 A 22.8 12.883 A 5.90 0.33 4.83 0.35 4.83 0.26 4.30 0.39 4.53 0.36 90.5 G 12.5 12.884 A 5.18 0.09 4.82 0.13 5.01 0.12 90.6 A 22.8 12.883 A 5.90 0.33 4.83 0.35 90.5 G 12.5	46.25	16.241	16.514 45.8	6.484	6.433	46.2	46.3	16.367	16.283	6.017	5.986	46.4	5.916	6.033	6.383	6.133	46.5	6.088	6.287	6.398	6.259	6.609	46.35	46.35	6.372	46.5	6.462	Sp. Bir	6.254	45.47	A5 73	45.33	Lat 45.67	
May Day Mas Day ES9 TZ Neft Net A 5.84 0.14 5.80 0.21 5.80 0.21 78 78 78 78 78 78 78 7		<u>ш</u>							1.3				10															н					12.	
MAW Daw TW Mas Das TS MSp Dsp ZS9 TZ Ncft Nat 5.84 0.14 5.80 0.21 5.80 0.21 78 78 5.37 0.30 5.10 0.45 5.27 0.42 905 G 17 125 2001 6.66 0.19 6.66 0.19 90.66 0.19 90.5 G 117 197 125 2001 6.66 0.19 6.66 0.19 90.5 G 117 197 5.48 0.06 90.5 G 117 149 4.72 0.01 4.56 0.12 90.5 A 149 4.72 0.01 4.43 0.10 90.5 G 149 4.77 0.10 149 4.77 0.10 149 4.77 0.10 149 4.77 0.10 149 4.77 0.10 149 4.77 0.10 150 150 150 150 150 150	.12	19	, , , ,)21 /	67	17	15	6)67	8	12	13		∞	67	17	13	38 I	39 z	58 7	04 7	47 F	ω ω	05		13		7. S.L.						
DAW TW Mas Das TS MSP DSP ZSS TZ Neft Nat 0.14 5.80 0.21 5.80 0.21 78 78 0.15 6.49 0.15 6.49 0.15 906 G 96 231 0.30 5.10 0.45 5.27 0.42 905 G 125 2001 0.19 6.66 0.19 6.66 0.19 905 G 125 2001 0.05 5.33 0.07 5.48 0.06 905 G 145 0.09 4.65 0.13 4.85 0.12 905 G 149 0.07 4.67 0.07 5.57 0.07 905 G 149 0.07 4.60 0.11 4.43 0.10 905 G 150 0.07 4.66 0.11 4.53 0.10 905 G 152 0.07 4.66 0.11 4.67 <td>л °</td> <td>, i o</td> <td>ω œ</td> <td>5.2</td> <td>4.8</td> <td>4.7</td> <td>4.8</td> <td>4.7</td> <td>4_8</td> <td>4.8</td> <td>5.1</td> <td>4.8</td> <td>4</td> <td>4.83</td> <td>4.9</td> <td>4.8</td> <td>4.72</td> <td>5.90</td> <td>5.07</td> <td>4.83</td> <td>5.36</td> <td>5.01</td> <td>4.72</td> <td>4.76</td> <td></td> <td>5.07</td> <td></td> <td>19.90</td> <td>6.66</td> <td>5.18</td> <td>5 37</td> <td></td> <td>5.84</td> <td></td>	л °	, i o	ω œ	5.2	4.8	4.7	4.8	4.7	4_8	4.8	5.1	4.8	4	4.83	4.9	4.8	4.72	5.90	5.07	4.83	5.36	5.01	4.72	4.76		5.07		19.90	6.66	5.18	5 37		5.84	
TW Mas Das TS Msp Dsp ZS9 TZ Ncft Nnt 5.80 0.21 5.80 0.21 78 6.49 0.15 6.49 0.15 906 G 96 231 4.81 0.37 5.00 0.34 905 G 125 2001 6.66 0.19 6.66 0.19 905 G 150 86 4.30 0.30 4.53 0.36 905 G 144 4.65 0.11 4.43 0.10 905 G 149 4.13 0.11 4.37 0.16 905 G 150 4.30 0.31 4.85 0.12 905 G 149 4.30 0.11 4.37 0.10 905 G 151 5.88 0.05 5.88 0.05 905 G 151 4.30 0.31 4.86 0.10 905 G 151 4.46 0.17 4.37 0.16 905 G 151 4.30 0.31 4.53 0.36 905 G 153 4.46 0.17 4.37 0.16 905 G 153 4.47 0.10 905 G 153 4.48 0.15 905 G 153 4.49 0.15 905 G 154 4.30 0.39 4.53 0.36 905 G 154 4.30 0.39 4.53 0.36 905 G 157 4.30 0.39 4.53 0.36 905 G 157 4.30 0.39 4.53 0.36 905 G 153 4.31 0.11 4.44 0.13 905 G 153 4.32 0.14 4.40 0.13 905 G 163 4.30 0.39 4.53 0.36 905 G 520 168 4.30 0.39 4.53 0.36 905 G 520 168 4.30 0.39 4.53 0.30 905 G 520 168 4.30 0.30 5.50 0.17 905 G 546 178																											0.0	J-0-0	0.19			0.15	0.14	,
Das TS MSp Dsp ZS9 TZ NGft Nnt 0.21 5.80 0.21 78 0.15 6.49 0.15 906 G 96 231 0.19 6.66 0.19 905 G 125 2001 0.19 6.66 0.19 905 G 150 86 0.07 5.48 0.06 905 G 146 0.13 4.85 0.12 905 G 150 0.11 4.43 0.10 905 G 149 0.11 4.77 0.10 0.11 4.53 0.10 905 G 150 0.11 4.53 0.10 905 G 150 0.11 4.53 0.10 905 G 151 0.11 4.53 0.10 905 G 151 0.11 4.53 0.10 905 G 151 0.11 4.53 0.36 905 G 152 0.17 4.53 0.36 905 G 27 0.17 4.53 0.36 905 G 154 0.39 4.53 0.36 905 G 227 0.13 5.01 0.12 906 A 228 0.39 4.53 0.36 905 G 157 0.39 4.53 0.36 905 G 159 0.39 4.53 0.36 905 G 229 0.14 4.44 0.13 905 G 158 0.39 4.53 0.36 905 G 168 0.14 4.44 0.13 905 G 168 0.14 4.44 0.13 905 G 168 0.14 4.54 0.13 905 G 168 0.14 4.54 0.13 905 G 168 0.14 4.54 0.13 905 G 546 177 0.06 6.43 0.06 905 G 546 177 0.07 6.56 0.17 905 G 541					o	9	ω	9	6	on	9	Oi																ĺ					M.T.	
TS Msp Dsp ZS9 TZ Ncft Nnt 5.80 0.21 6.49 0.15 906 G 96 231 5.27 0.42 905 G 117 2001 6.66 0.19 905 G 125 2001 6.66 0.19 905 G 125 2001 6.66 0.19 905 G 125 2001 6.67 0.07 905 G 492 147 4.43 0.10 905 G 150 4.77 0.10 5.26 0.08 905 G 150 4.77 0.10 5.26 0.08 905 G 151 4.53 0.10 905 G 152 4.67 0.16 905 G 152 4.63 0.36 906 A 275 4.53 0.36 906 A 275 4.53 0.36 905 G 157 5.01 0.12 906 G 227 4.53 0.36 905 G 158 4.04 0.13 905 G 168 4.53 0.36 905 G 168 4.53 0.36 905 G 168 4.54 0.13 905 G 168 4.53 0.36 905 G 168 4.54 0.13 905 G 546 177 5.91 0.04 905 G 546 177 5.91 0.04 905 G 546 177 5.91 0.04 905 G 549 178	91 25	. 43	30	. 89									. 83	. 30	. 46																	49	80	
MSP Dsp ZS9 TZ Ncft Nat 5.80 0.21 78 6.49 0.15 906 G 96 231 5.27 0.42 905 G 112 2001 6.66 0.19 905 G 125 2001 6.66 0.19 905 G 125 2001 4.85 0.12 905 G 1492 147 4.85 0.12 905 G 492 147 4.43 0.10 905 G 1492 147 4.43 0.10 905 G 1492 147 4.43 0.10 905 G 1492 1492 4.77 0.10 905 G 1492 1492 4.77 0.10 905 G 1492 1493 4.83 0.10 905 G 159 159 4.83 0.36 905 G	0.04	0.06	0.14	0.06	0.39	0.14	0.04	0.14	0.39	0.39	0.13	0.39	0.22	0.39	0.17	0.39	0.17	0.05	0.11	0.11	0.09	0.11	0.17	0.11	0.07	0.13	0.07	-3e	0.19	0.37	45	0.15	\ \	
Dsp ZS9 TZ NGft Nnt 0.21 0.21 0.22 78 0.15 906 G 96 231 0.12 905 G 117 0.10 905 G 150 0.10 905 G 150 0.10 905 G 150 0.10 905 G 192 0.10 905 G 192 0.10 905 G 192 0.10 905 G 193 0.10 905 G 193 0.10 905 G 193 0.10 905 G 193 0.10 905 G 153 0.10 905 G 153 0.10 905 G 153 0.11 905 G 154 0.20 906 A 227 0.12 906 A 228 0.36 905 G 227 0.13 905 G 153 0.36 905 G 154 0.36 905 G 153 0.36 905 G 153 0.36 905 G 153 0.36 905 G 153 0.36 905 G 154 0.36 905 G 168 0.37 905 G 549 178 0.04 905 G 549 178	n Un	u Or H	44	ហ	4	4	4	4	4	4	55	4	4.	4	4	4.	4	5	4.	4.	5	4.	4.	4	5	4.	ភ	A	6	5	ري ا	<u>ه</u>		
P ZS9 TZ Ncft Nnt 1 78 1 78 2 905 G 117 107 2 905 G 1150 86 2 905 G 150 86 2 905 G 150 149 2 905 G 492 149 6 905 G 492 119 6 905 G 492 150 0 905 G 150 151 150 150 150 150 150 150 150 150	.91 0 .50 0	.43	.54 53 0	.07 0	.53 0	.36 0	.61 0	.44 0	.53 0	.53 0	.01 0	53 0	.09 0	.53 0	.67 0	.53 0	.37 0	0 88	86 0	53 0	26 0	77 0						- 6					_	
TZ NCft Nnt 78 78 78 78 78 78 78 78 78 78 78 78 78																						.10						Л	9	12	N	G		
Neft Nnt 78 78 96 231 117 125 2001 145 492 147 492 147 150 150 191 151 151 152 152 152 277 156 228 277 156 228 163 164 163 164 165 164 177 546 177				ហ																								П						
231 231 197 2001 146 147 148 149 150 151 151 151 151 152 153 152 153 154 227 154 227 154 227 158 228 158 278 168 168 168 168 168			"			4,	41		41	-	41	٦,	-	,	41						,,,				4				150	125	117	96		
3 4 4 6 6 6 7 7 7 7 7 7 7 7 7 7 7 7 7 7 7		ا با د	16 24			16	16	16	15	23	22	15	27	221	<u>1</u>	22	15,			15:	15	191	150	14	14	14	14	S.A.				N		
	_		-J (c																									1						



TAB. 1 - ELENCO DEI TERREMOTI MAGGIORI VERIFICATISI IN UN'AREA CON 200 KM DI RAGGIO DAL BARICENTRO DEL COMUNE CON INTENSITA' UGUALE O SUPERIORE (I°) A 8° MCS

(estratto da: Catalogo parametrico dei terremoti italiani - Istituto Nazionale di Geofisica e Vulcanologia)

Interrogazione effettuata sui seguenti parametri:

Area circolare con centro C (45.860, 12.093) e raggio 200 km con valore Io tra 8 e 11 $\,$

0 0 0 0 0 0 0 0 0 0 0 0 0 0 0 0 0 0 0	616 619 6693 6693 6694 6693 1170 1170 1170 1180 1180 1180 1180 1180
n	840 116 116 289 289 242 242 69 270 270 1192
Noft 24 74 78 78 78 78 78 78 78 78 78 78 78 78 78	3224 3274 3274 3411 4442 4442 4442 4442 4442 4442 444
	, 1000000000000000000000000000000000000
2289 9123 9123 9123 9134 9133 9133 9133 905 905	99999999999999999999999999999999999999
Dag	
May 25.5.5.5.5.5.5.5.5.5.5.5.5.5.5.5.5.5.5.	2
S	
Day 200 0 20	
M	
	, ,,,,,,,,,,,,,,,,,,,,,,,,,,,,,,,,,,,,,
Day 10 1 1 1 1 1 1 1 1 1 1 1 1 1 1 1 1 1 1	
######################################	
	444 4 4444 4444
0	100 H : 8 : 100 H : 9 : 100 H : 9 : 100 H : 9 : 100 H
	111. 13.0 12.0 12.0 112.0 12.0 12.0 13.1.
104 Laber 104 La	44.73 44.73 44.73 45.44 45.44 46.11 46.13 46.37 46.24
H M M M A A A A A A A A A A A A A A A A	ক' ক' ক'ক'ক'
H	
	0 0 0 0 0 0 0 0 0 0 0 0 0 0 0 0 0 0 0
7 3 8 8 2 1 1 2 4 4 0 6 6 6 6 6 6 6 6 6 6 6 6 6 6 6 6 6	27 27 200 403 296 191 359 772 54
1 1 1 1 1 1 1 1 1 1 1 1 1 1 1 1 1 1 1	H H H H H H H H H H H H H H H H H H H
Rt CFTI CFTI CFTI CFTI CFTI CFTI CFTI CFTI	CFTI DOM CVI86 CFTI CFTI CFTI CFTI CFTI CFTI CFTI CFTI
rd &	
mil nal	0
Modena-Reggio Emil Classe-Ravenna Treviso Veronese Basso bresciano CARNIA PREDAPPIO Parmense Romagna meridional Appennino modenese Slovenia TIROL TIROL TIROL ROMAGNA TIROL ROMAGNA TIROL RABENTEN RABENTEN ASOlano RAVEO RIJEKA TRAMONTI	Romagna TOLMEZZO RIJEKA RIJEKA Valle dell'Oglio GORSKI KOTAR MELDOLA Bellunese Valle d'Illasi Slovenia LJUBLJANA Salo' CARNIA BOSCO CANSIGLIO FRIULI
Reggerence of the second of th	COLORDO COLORD
Modena-Reggio Classe-Ravenna Treviso Veronese Basso brescian CARNIA PREDAPPIO Parmense Romagna meridi Appennino mode Slovenia TIROL CICARIJA TIROL ROMAGNA TIROL RABENTEN ASOlano RAVEO RAVEO RAVEO RAVEO	FAENTING ROMAGNA TOLMEZZO RIJEKA RIJEKA GORSKI KOTAR MELDOLA Bellunese Valle d'Illa Slovenia LJUBLJANA Salo' CARNIA BOSCO CANSIG FRIULI
• • • • • • • • • • • • • • • • • • • •	
Mi Se 40 40 45 30 30	40 33 33 57 6 14 6 14 57 57 10
O H 113 113 114 4 4 4 4 4 4 4 4 4 4 4 4 4 4	20 1 1 2 2 1 3 6 9 9 4 8 1 1 2 2 1 1 3 6 9 9 9 9 9 9 9 9 9 9 9 9 9 9 9 9 9 9
G 2 2 2 2 3 3 4 4 4 4 6 7 1 1 1 1 1 1 2 2 2 3 3 7 1 1 1 1 1 1 1 1 1 1 1 1 1 1 1 1 1	1 1 2 2 1 2 1 1 2 1 1
Σ	11 11 12 10 10 10 10 10 10 10 10 10 10 10 10 10
Anno 1910 725 725 726 727 1117 1222 1348 1483 1501 1511 1574 1670 1689 1690 1690 1721 1721	
N TH 5 DI 118 DI 119 DI 130 DI 130 DI 144 DI 14	
188 198 199 199 199 199 199 199 199 199	019 019 0619 0619 0681 0971 1170 1170 1170 11853 11853 11805

Numero di record estratti: 37